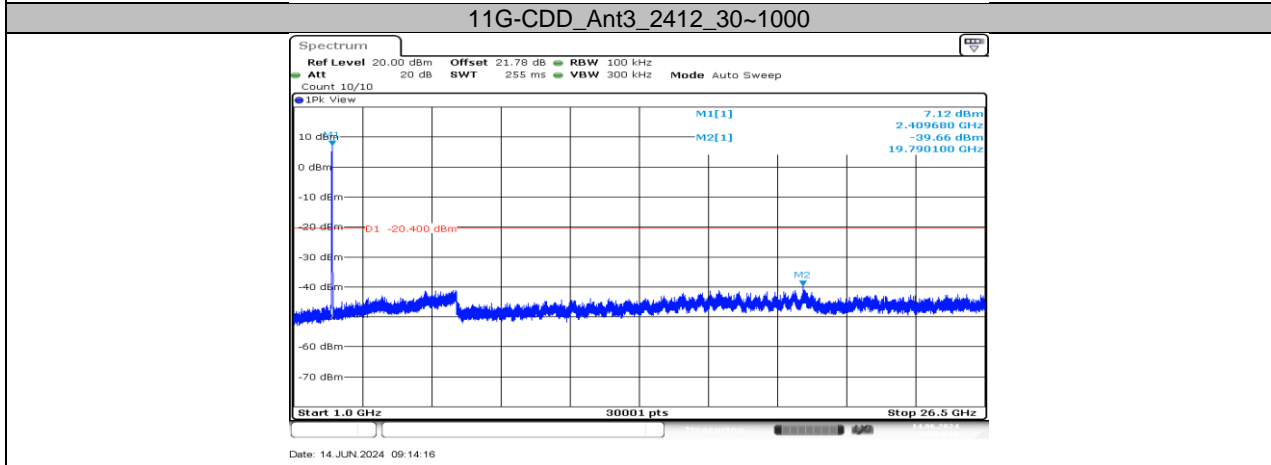
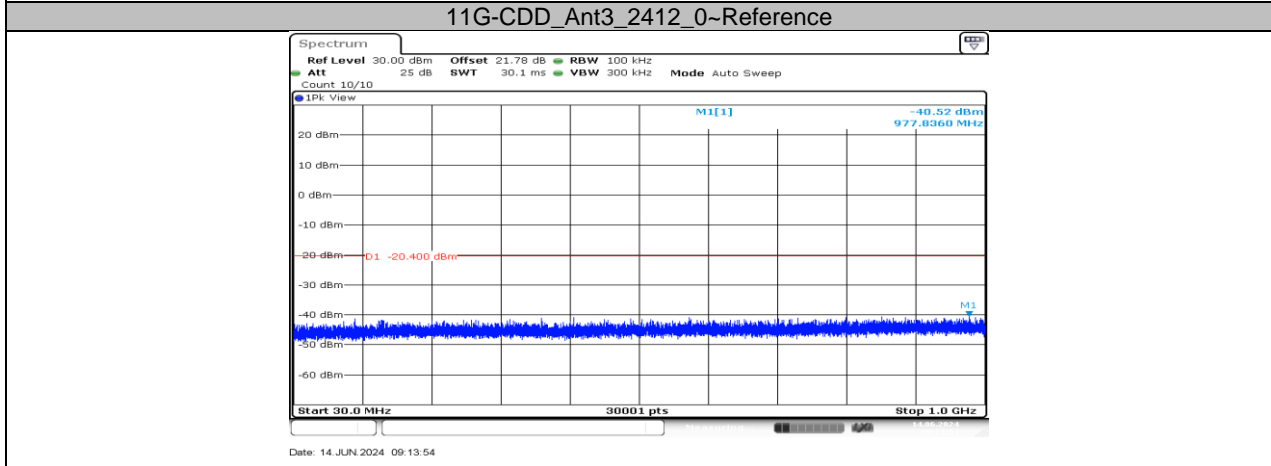
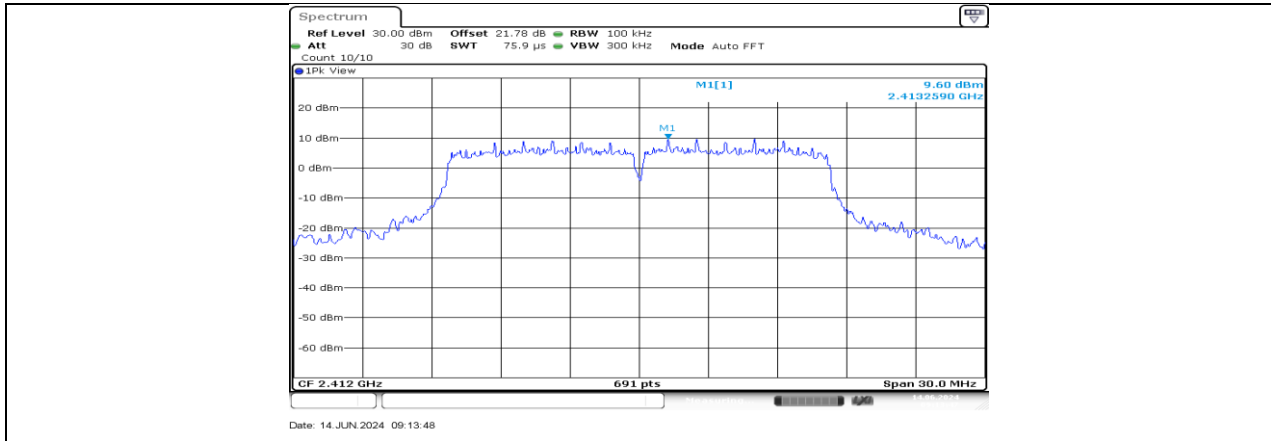
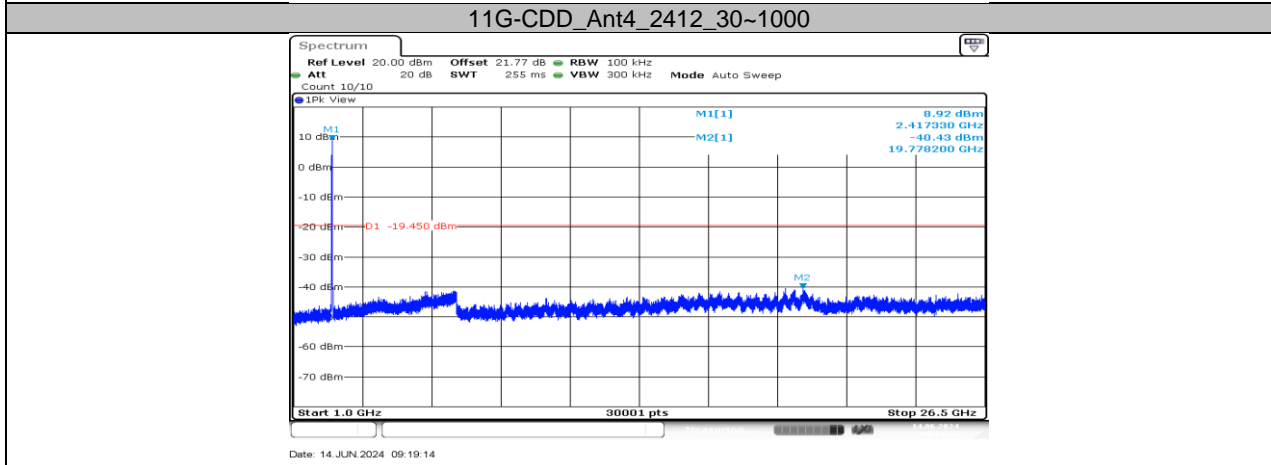
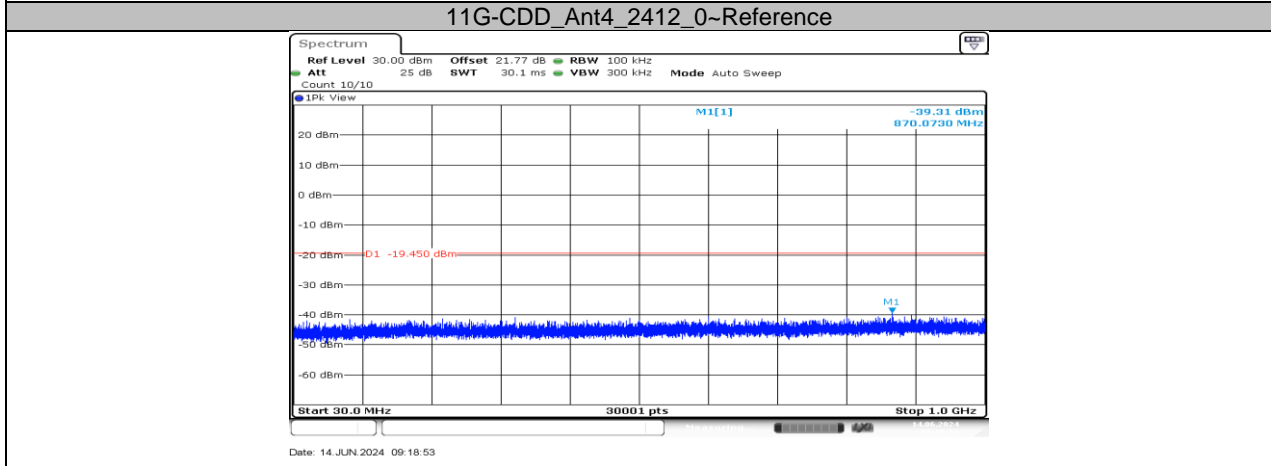
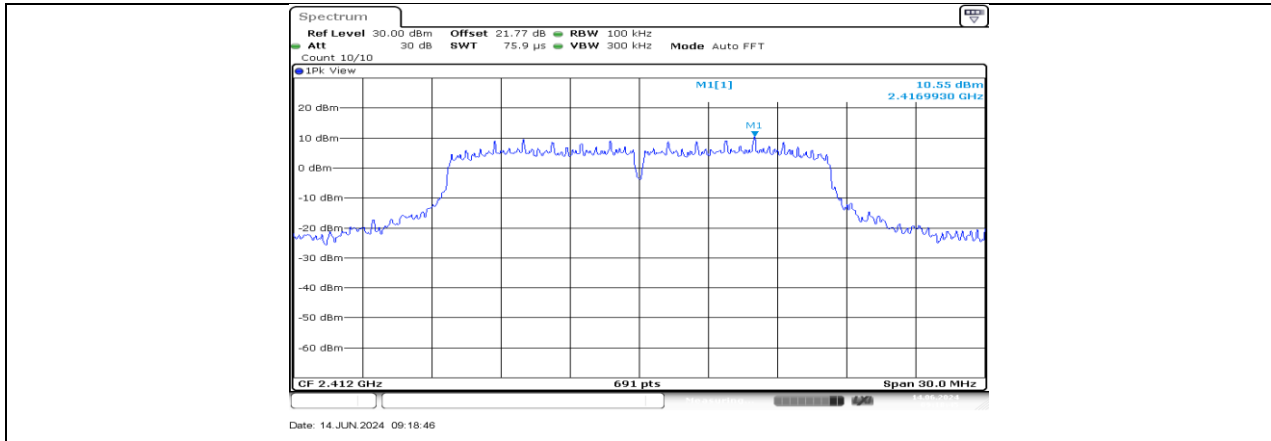
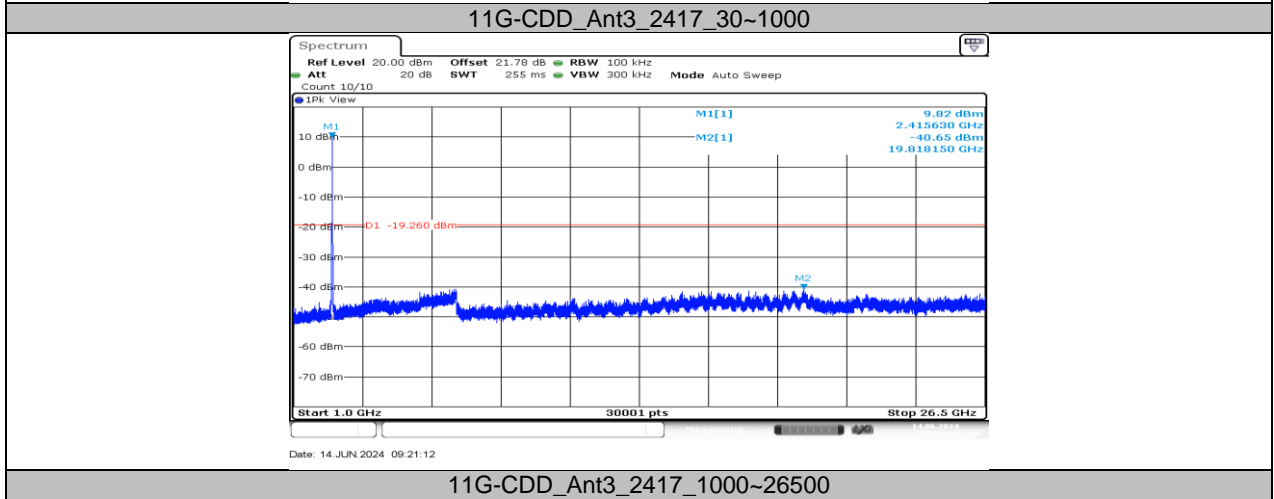
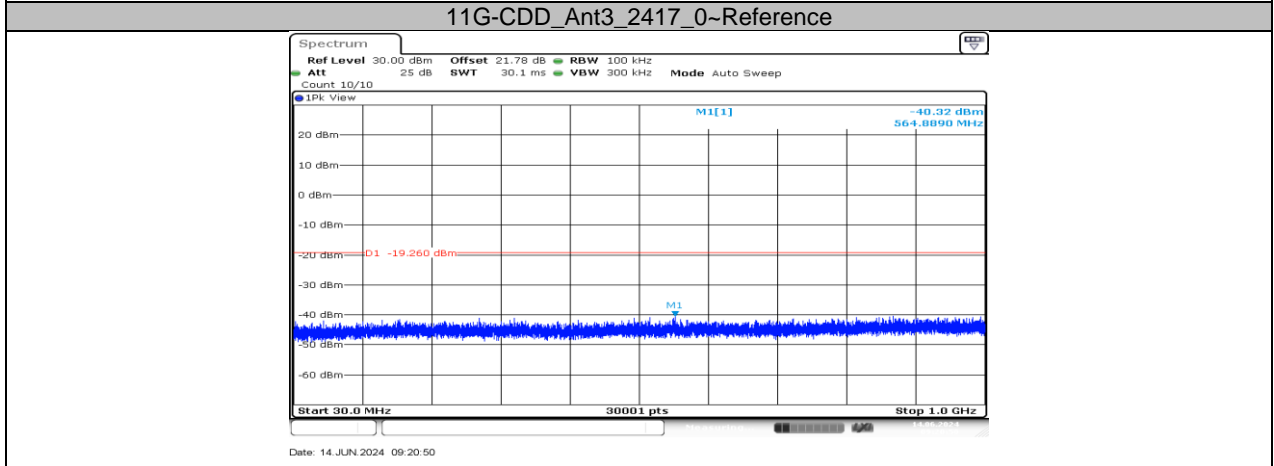
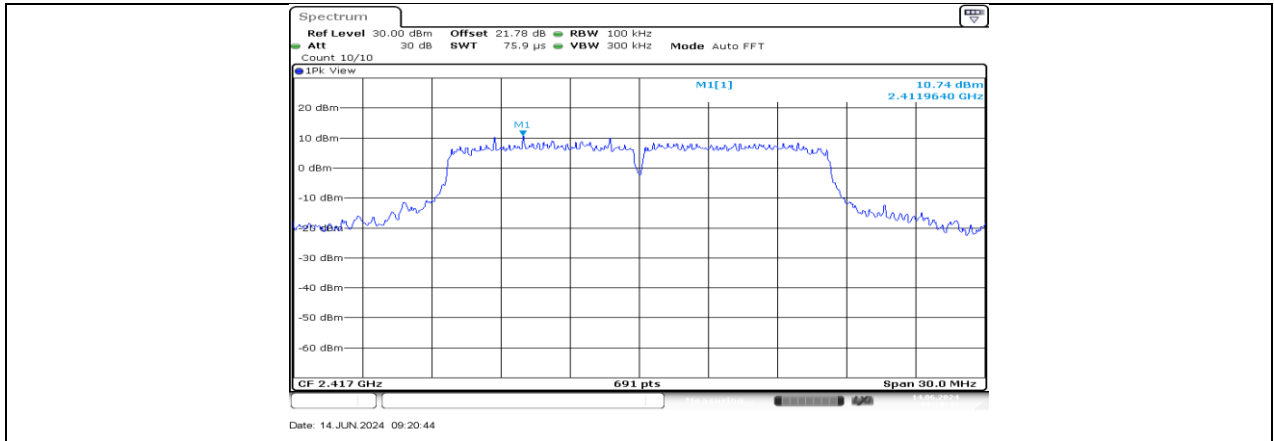
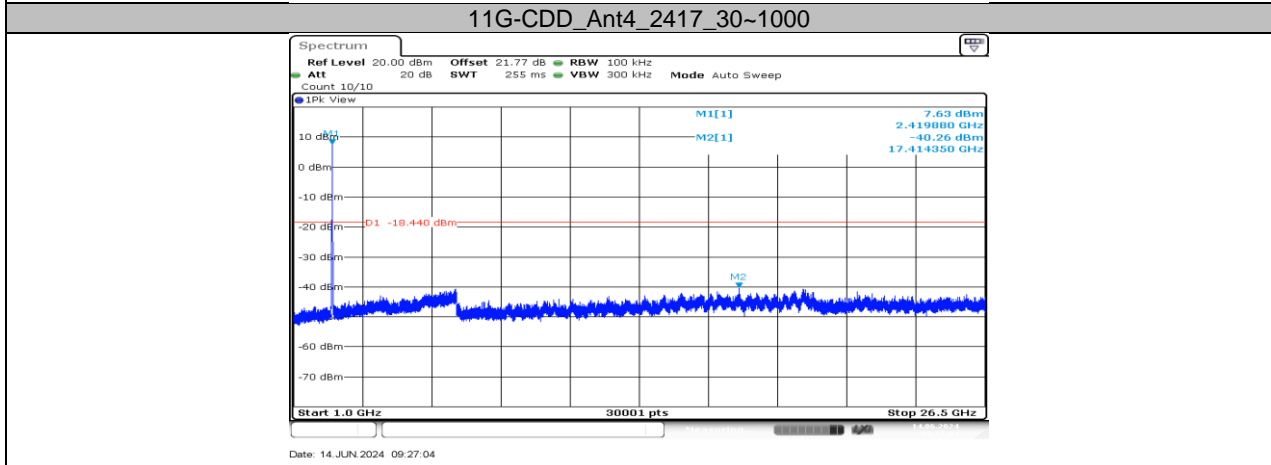
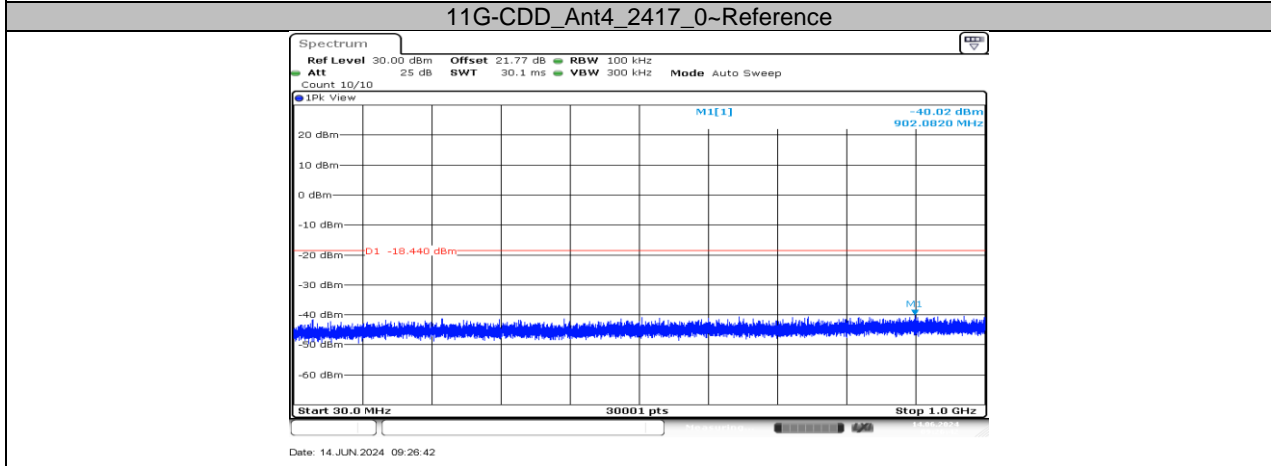
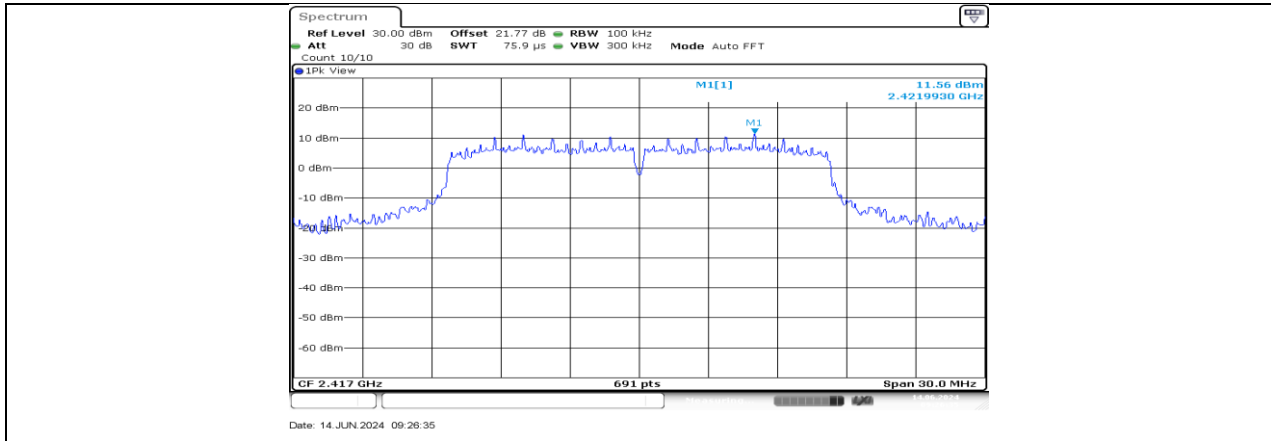


11B-CDD_Ant4_2462_1000~26500

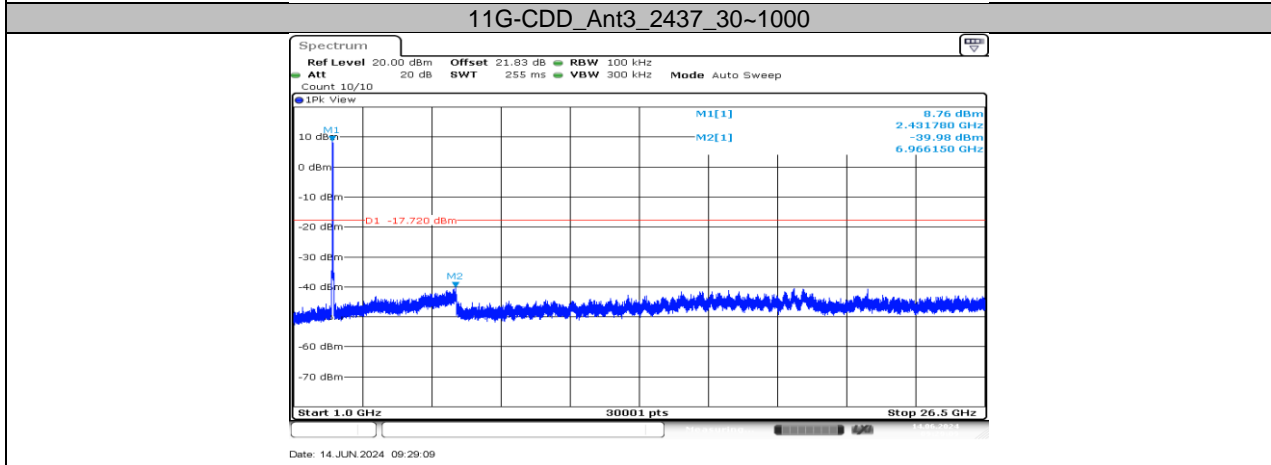
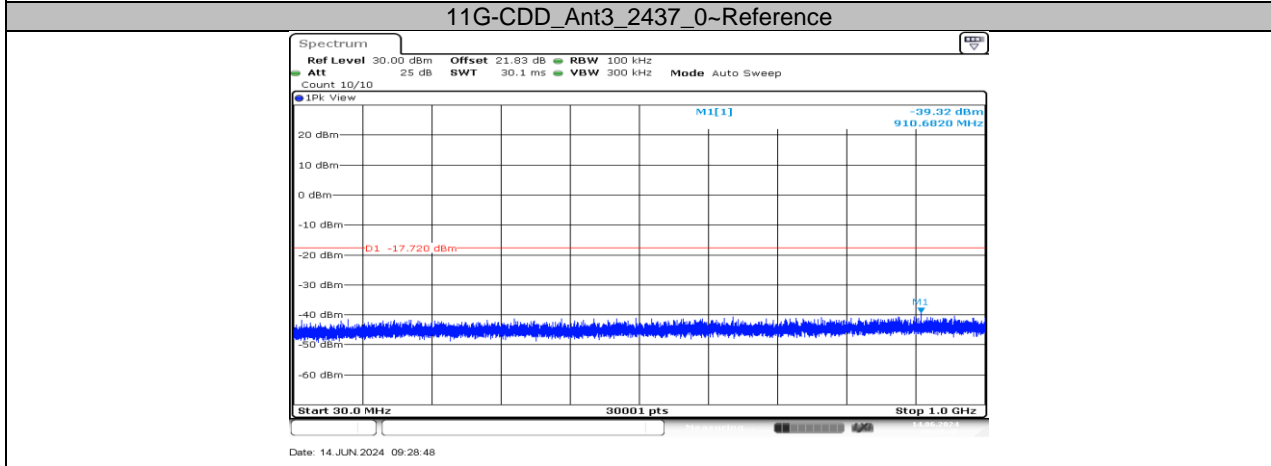
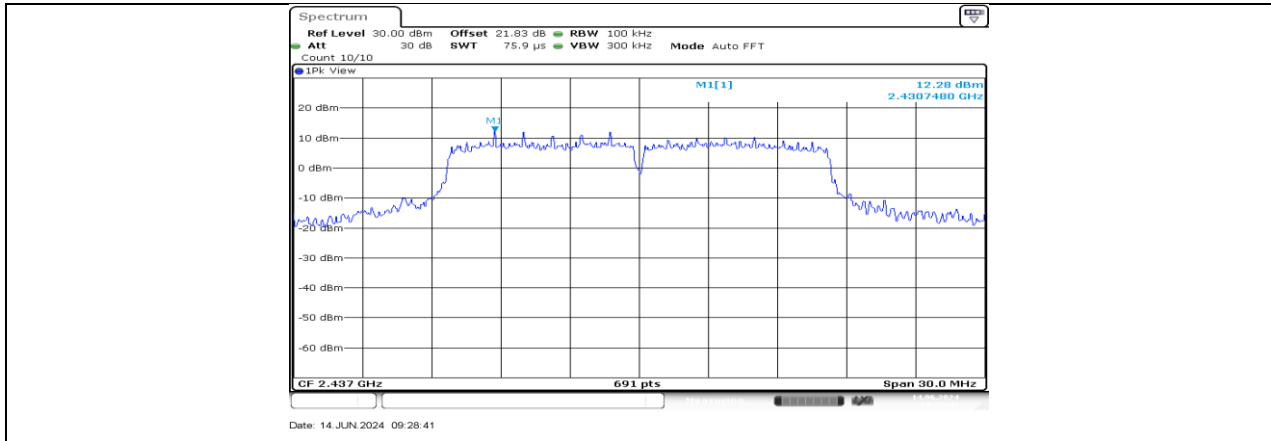




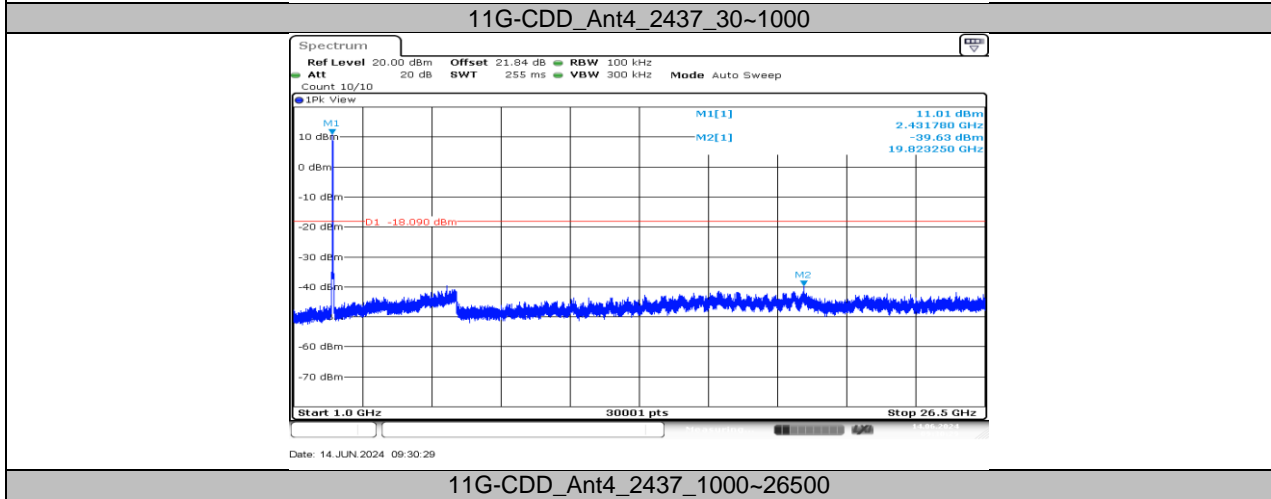
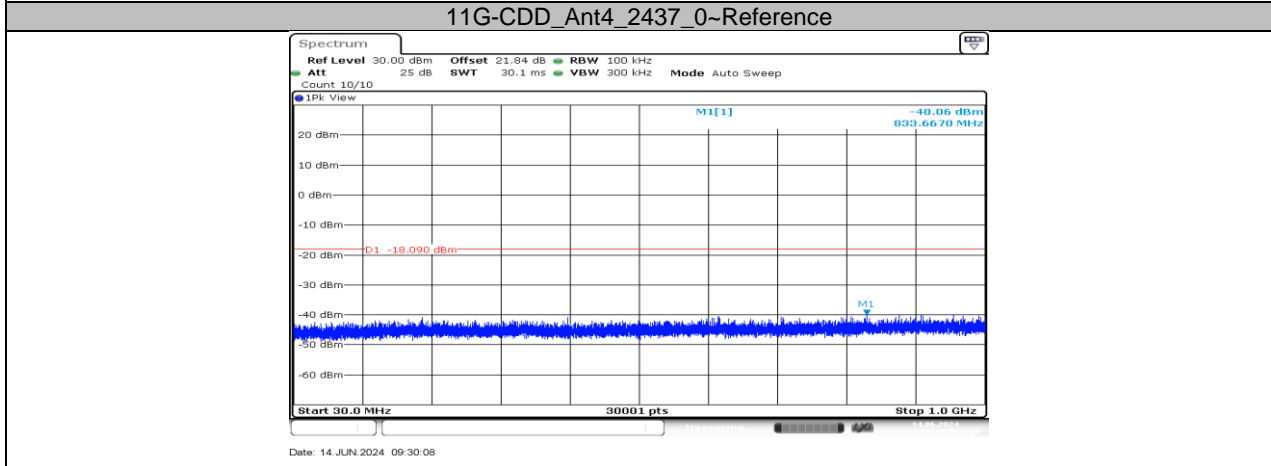
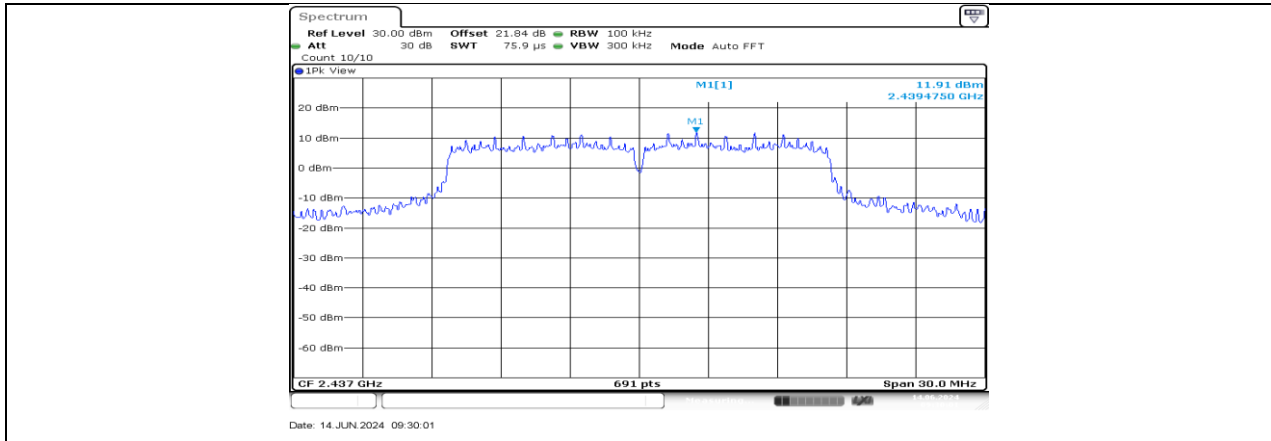


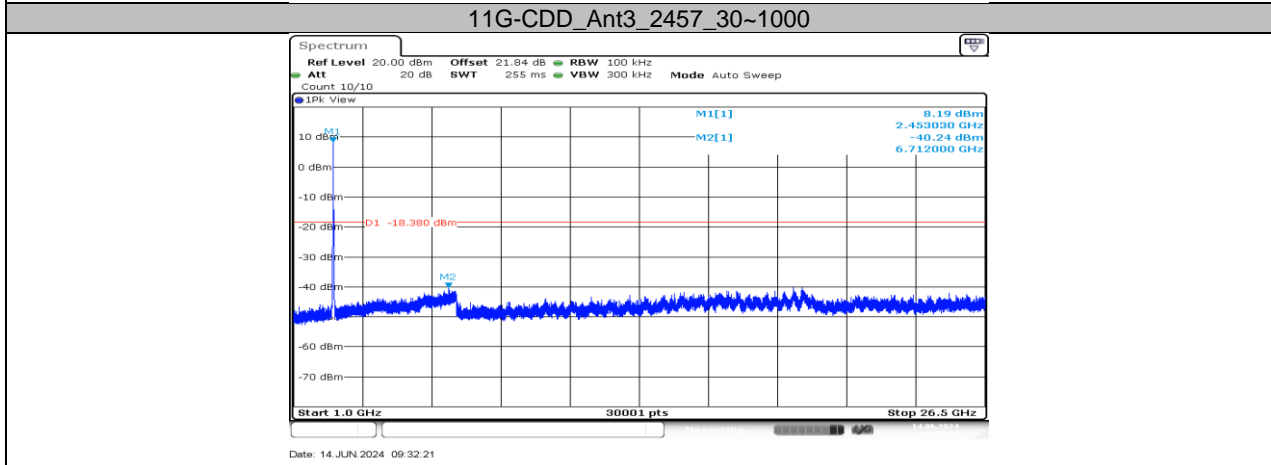
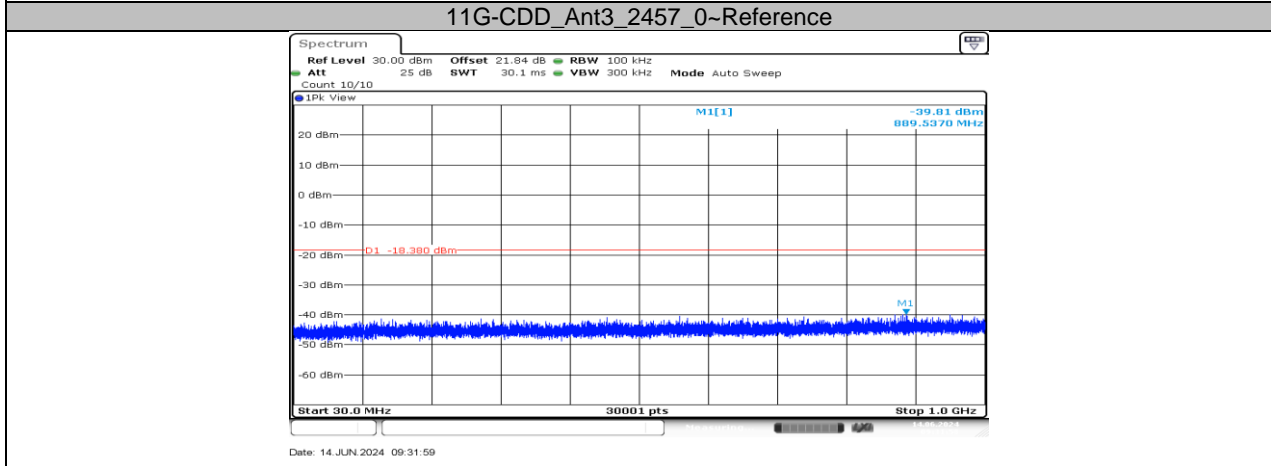
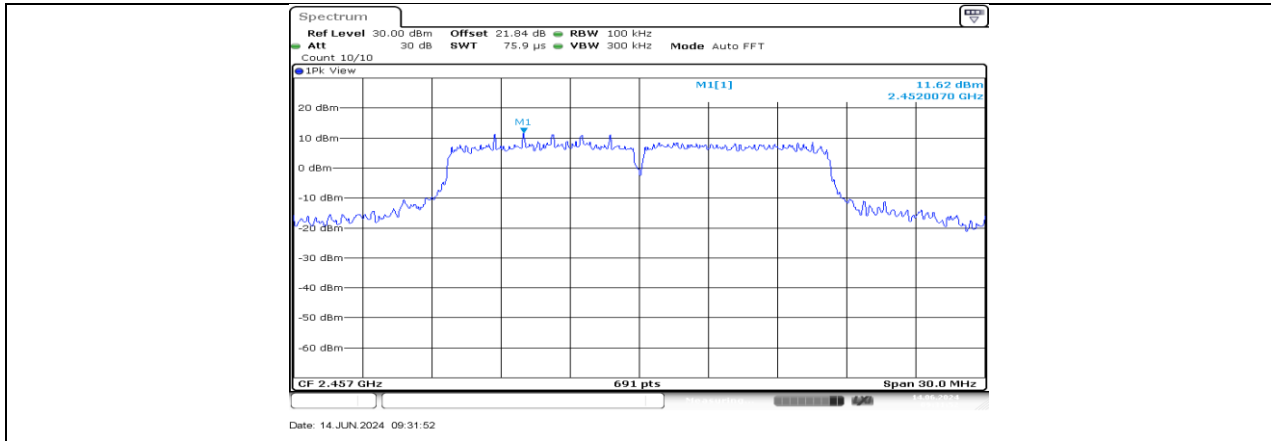


11G-CDD_Ant4_2417_1000-26500

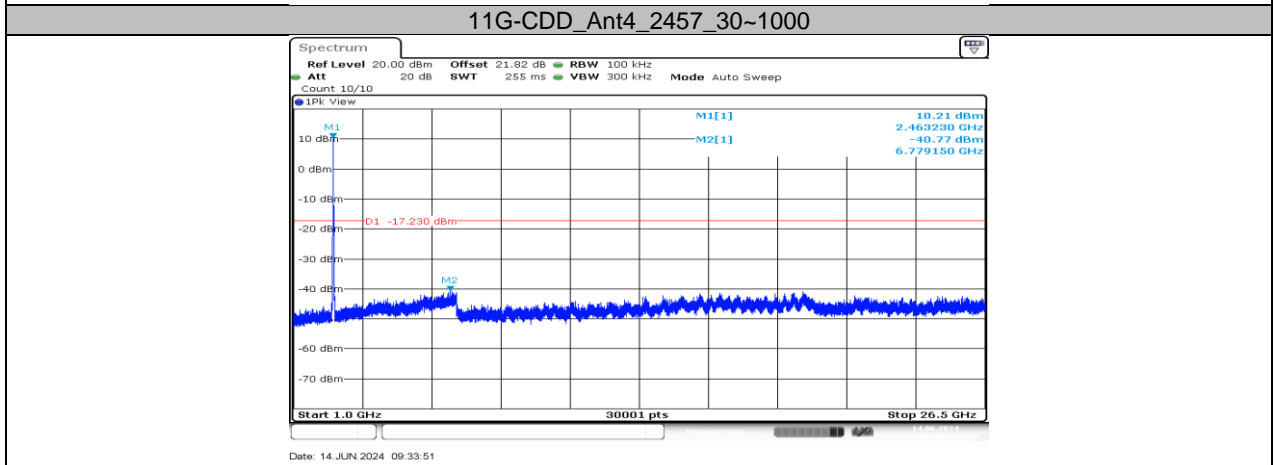
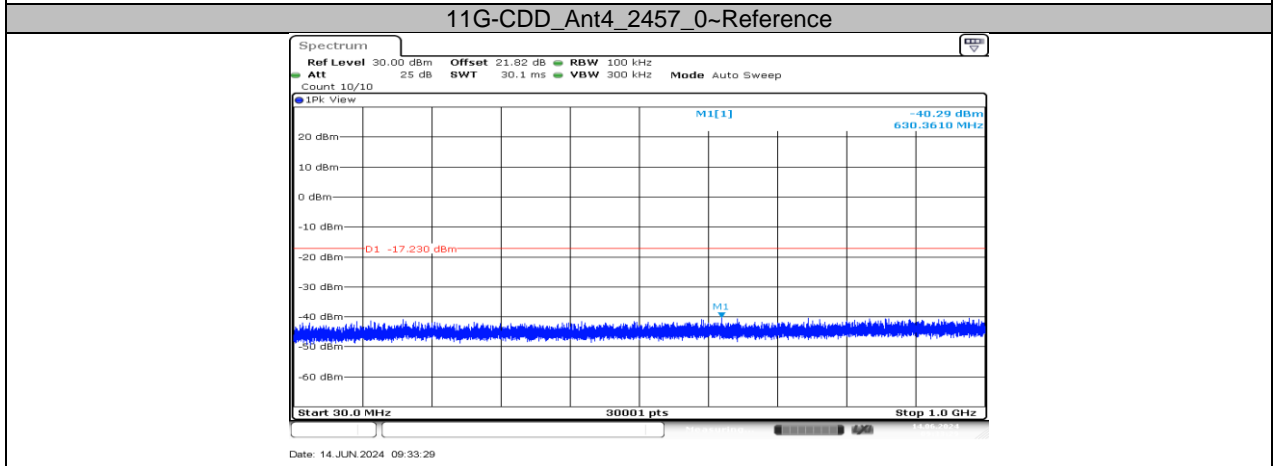
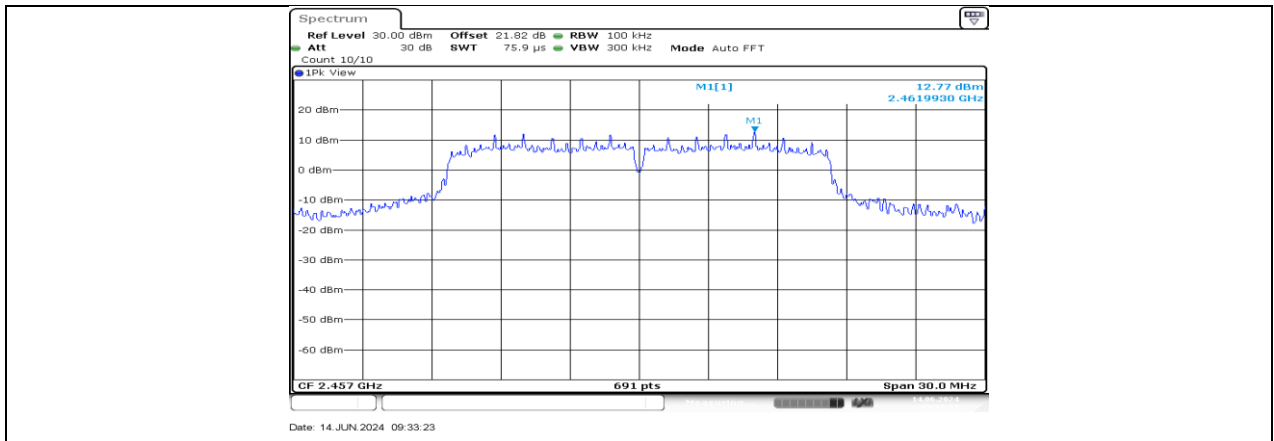


11G-CDD_Ant3_2437_1000-26500

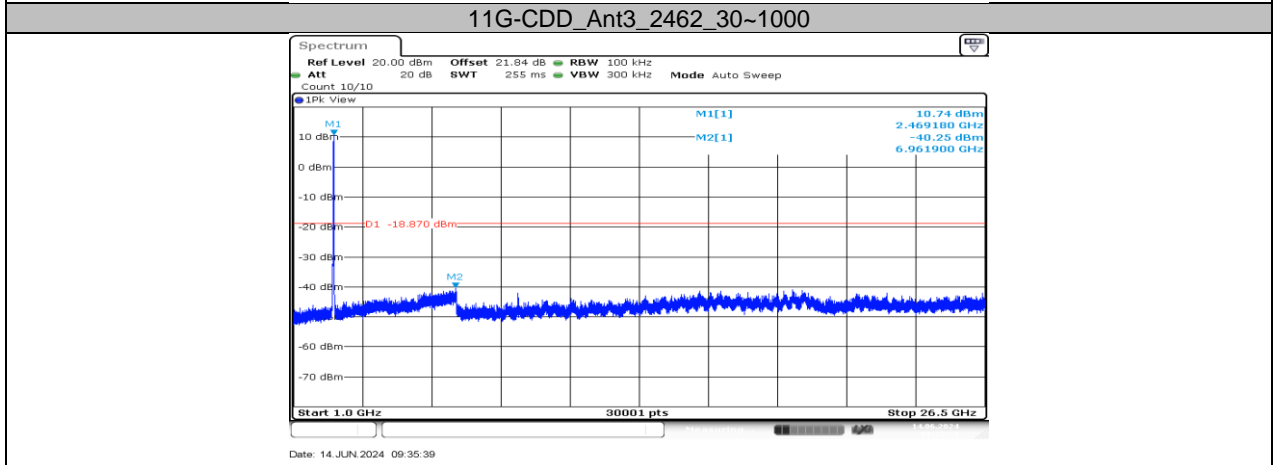
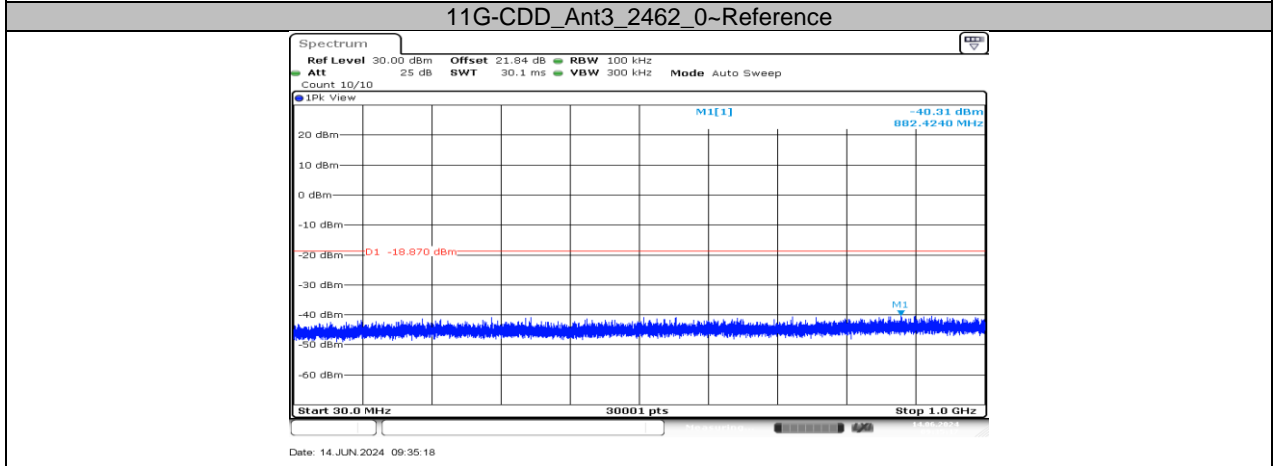
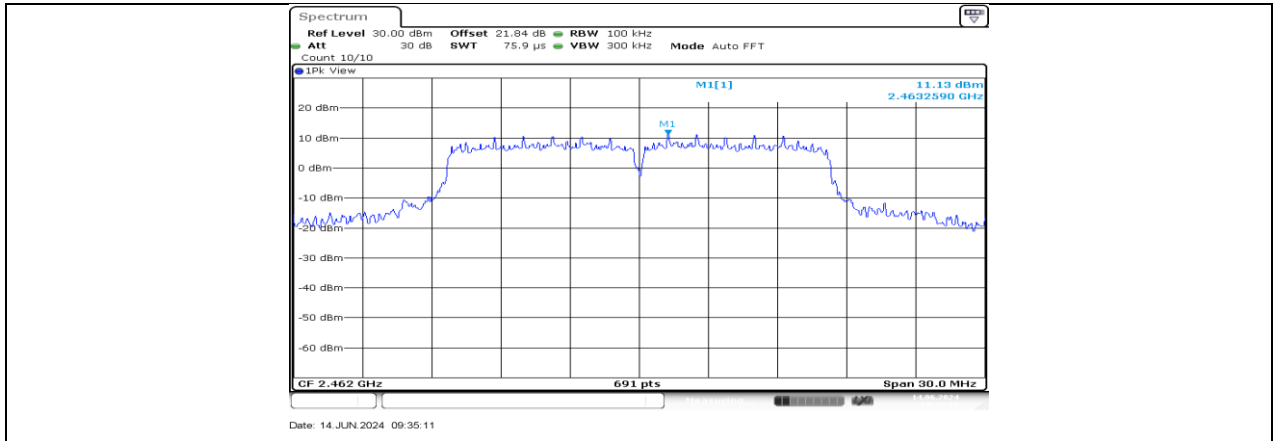


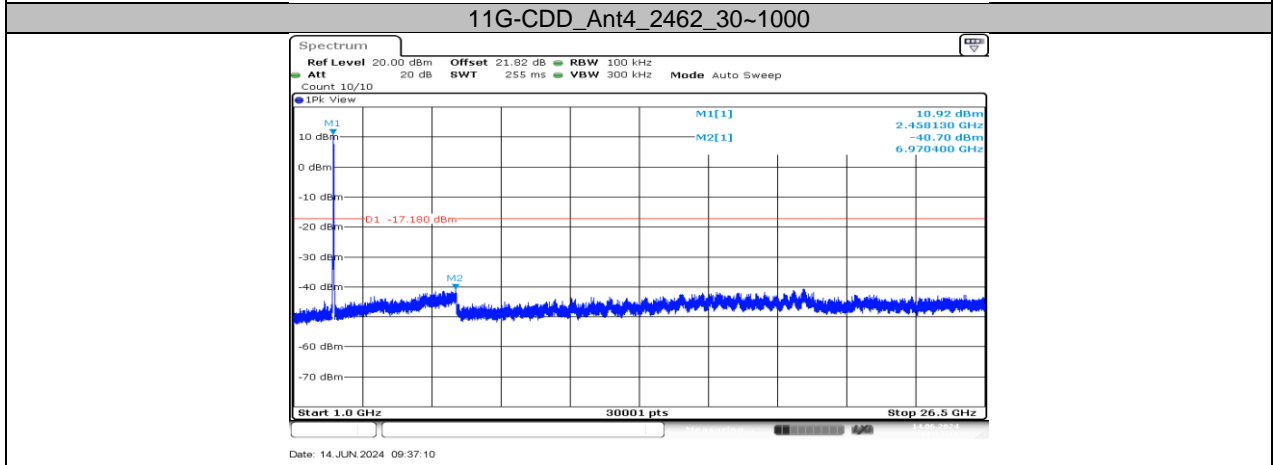
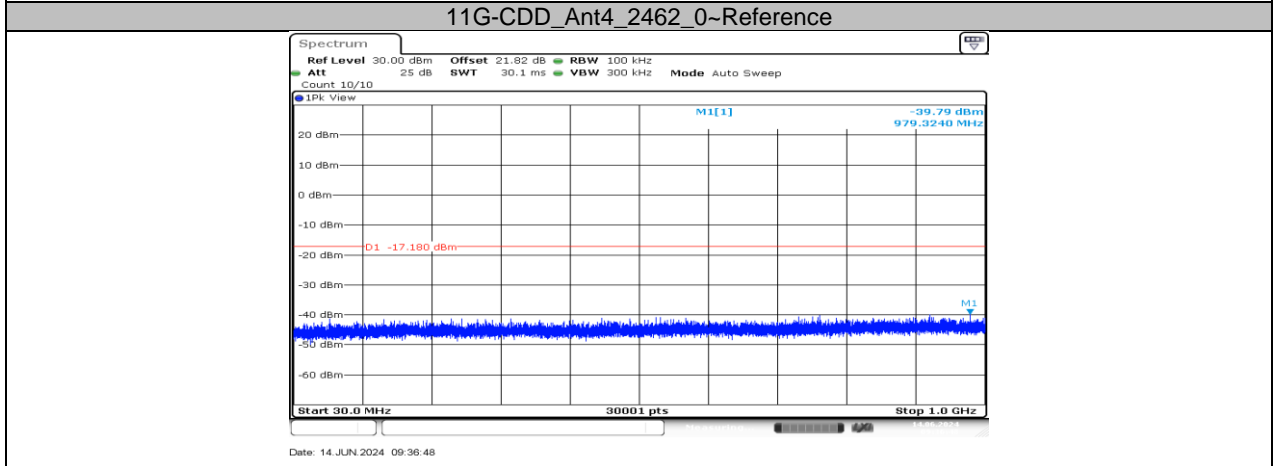
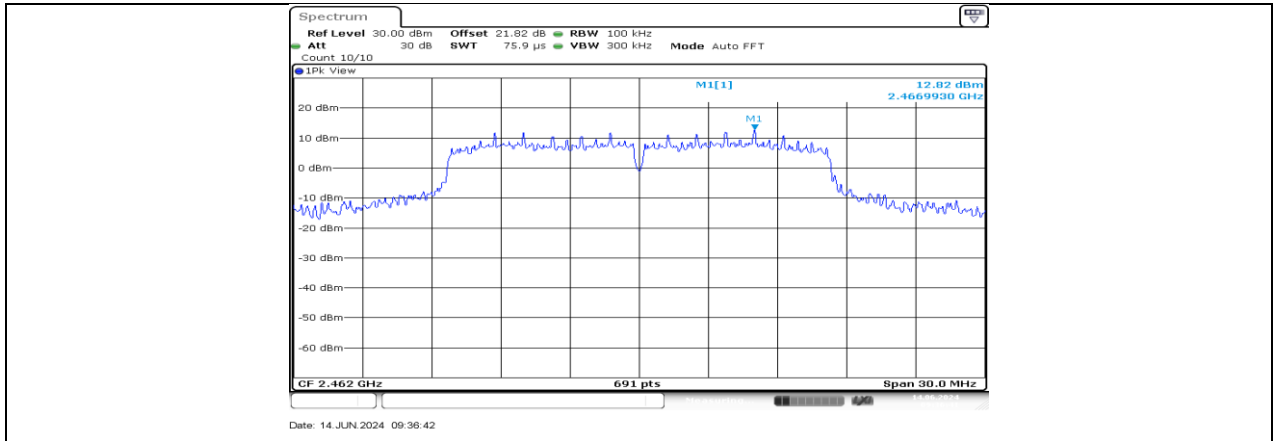


11G-CDD_Ant3_2457_1000-26500

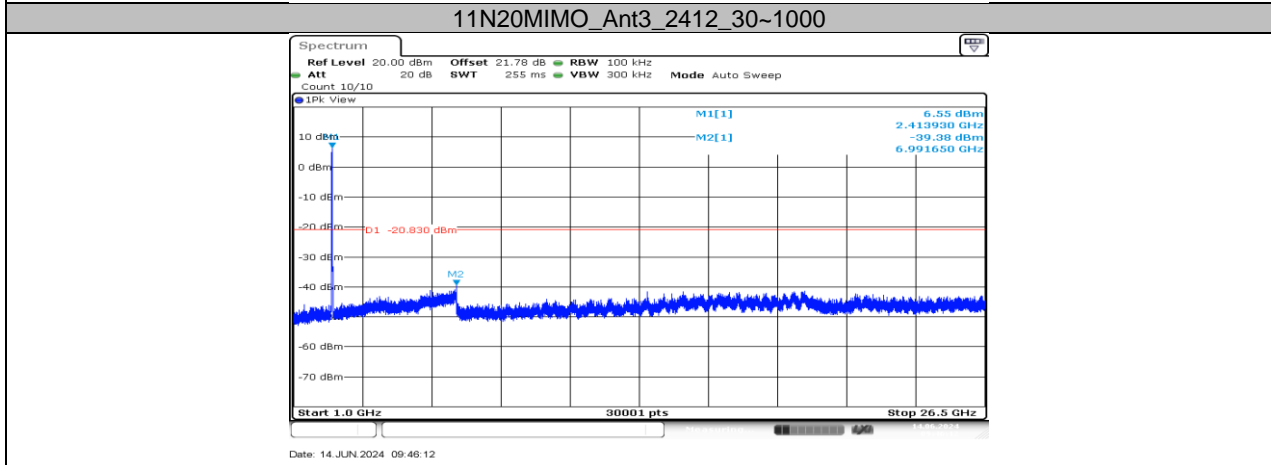
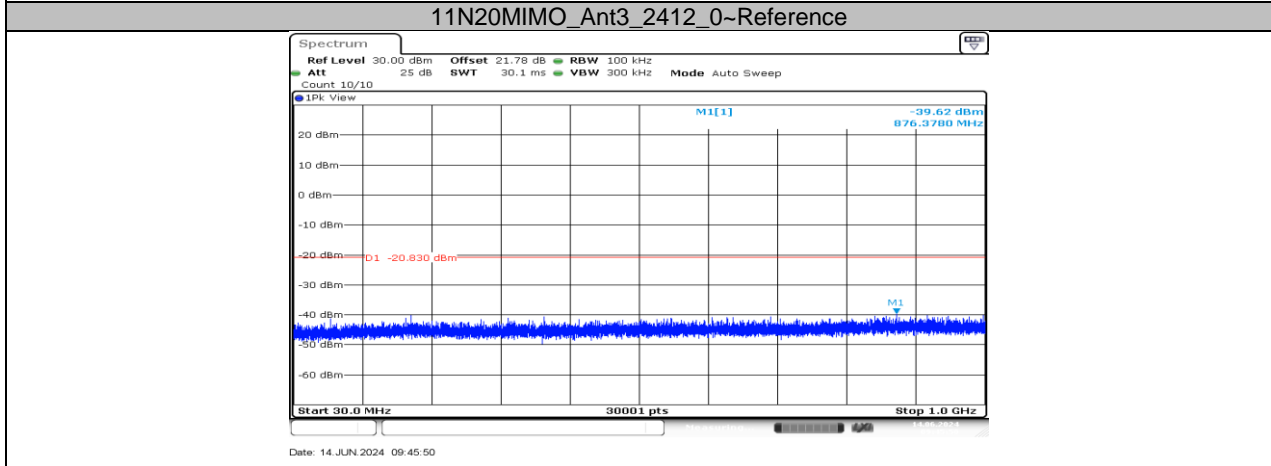
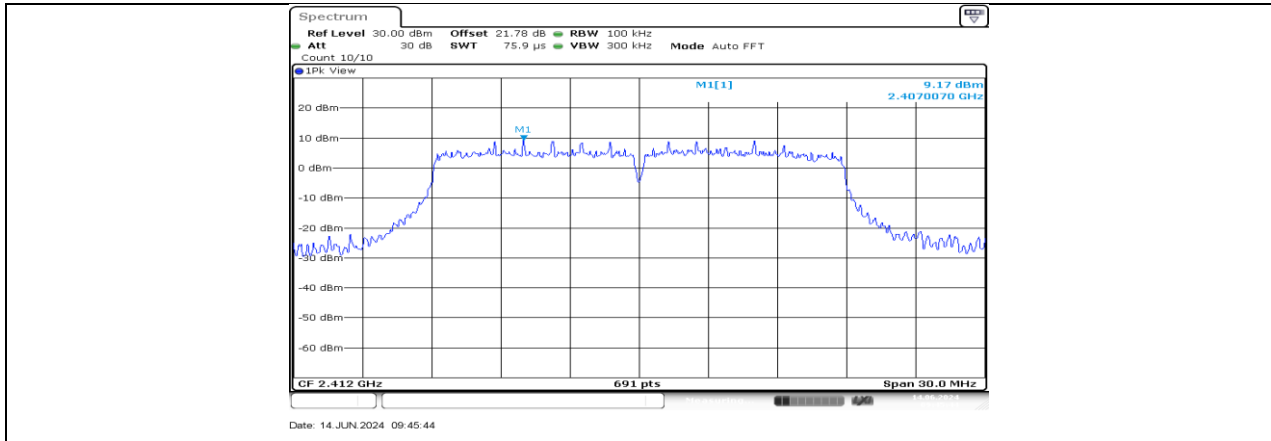


11G-CDD_Ant4_2457_1000-26500

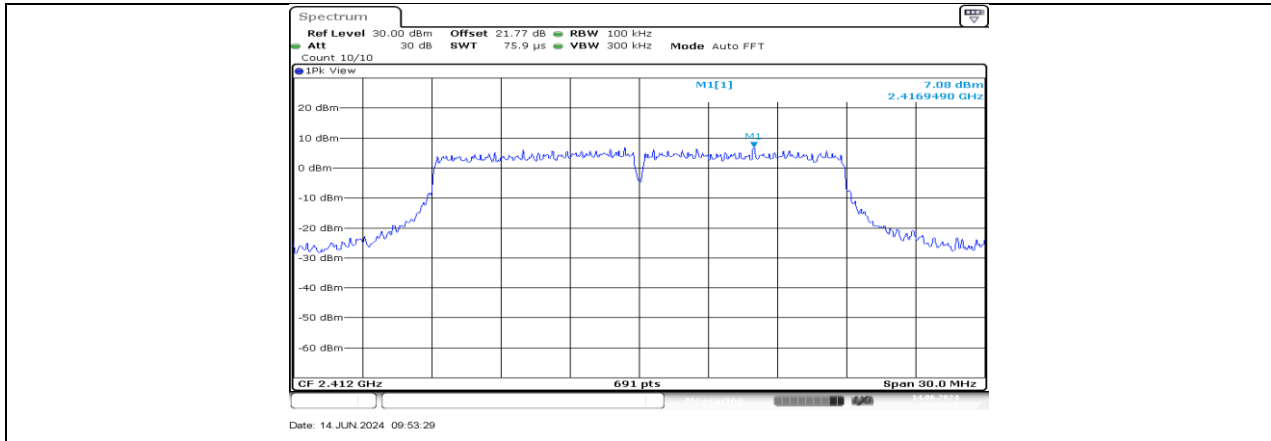




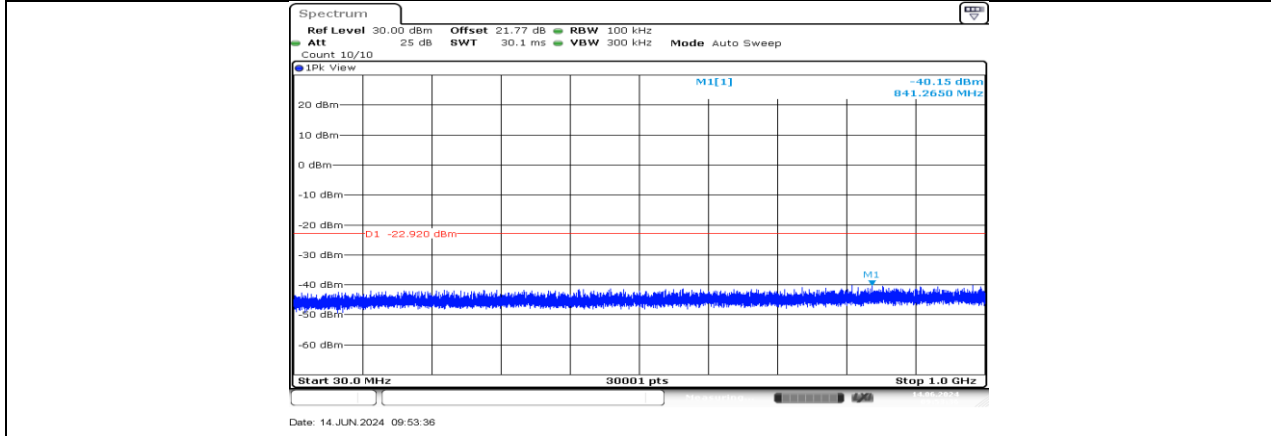
11G-CDD_Ant4_2462_1000-26500



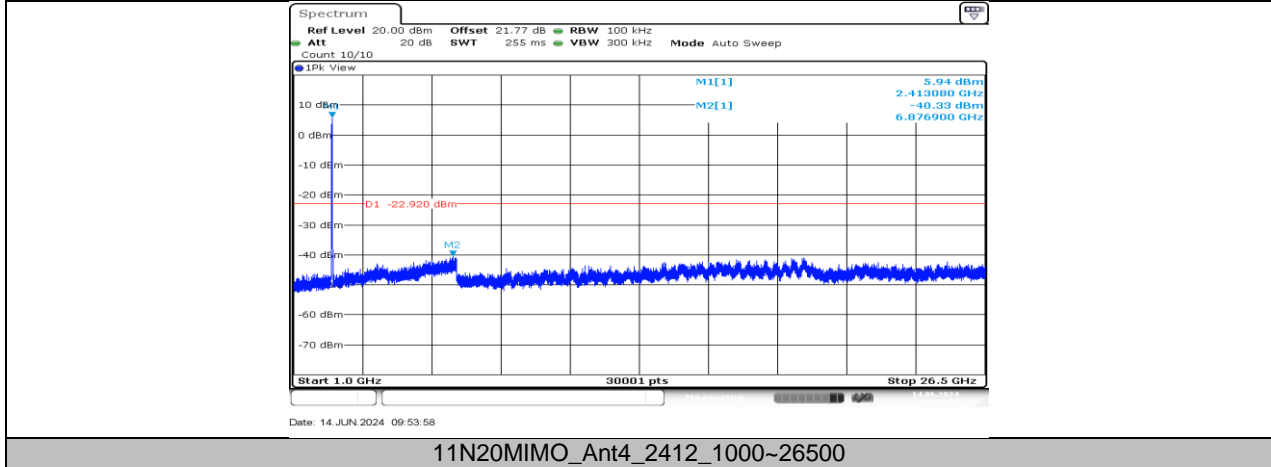
11N20MIMO_Ant3_2412_1000~26500



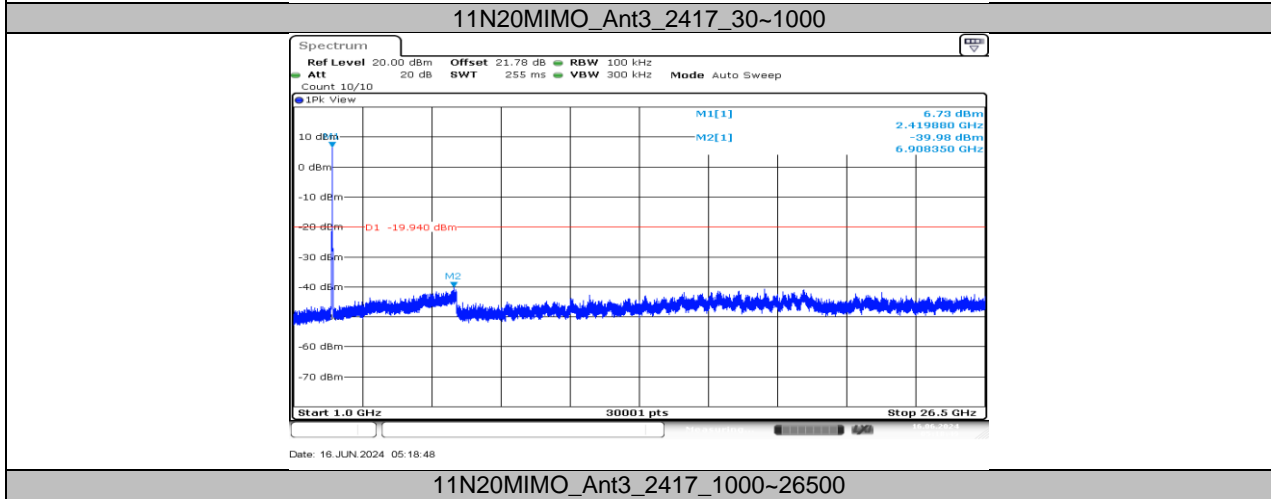
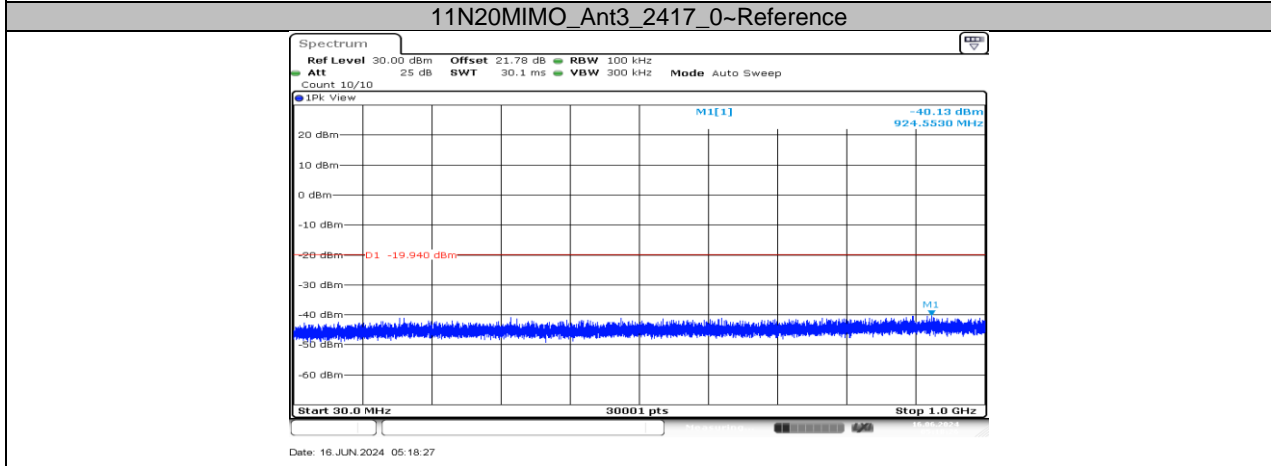
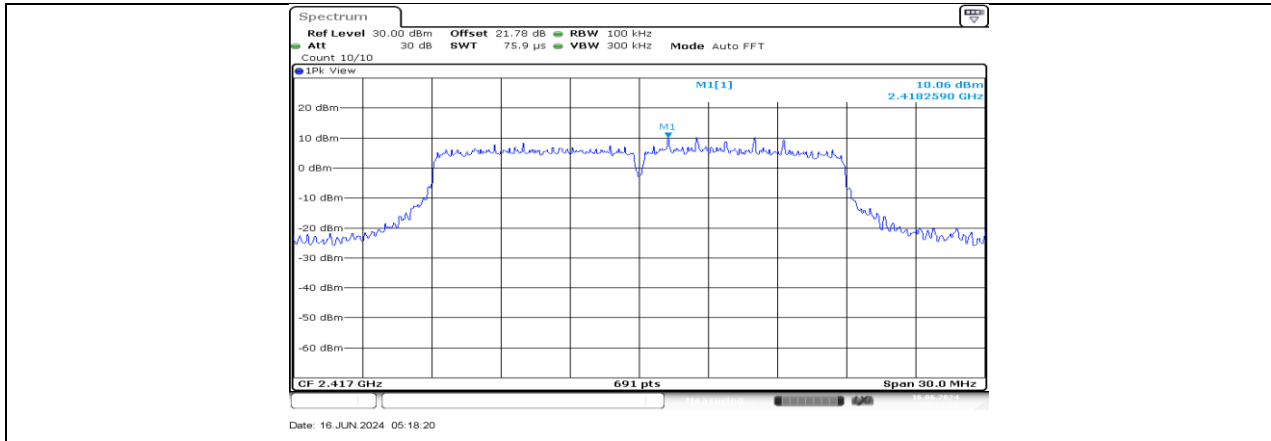
11N20MIMO_Ant4_2412_0~Reference

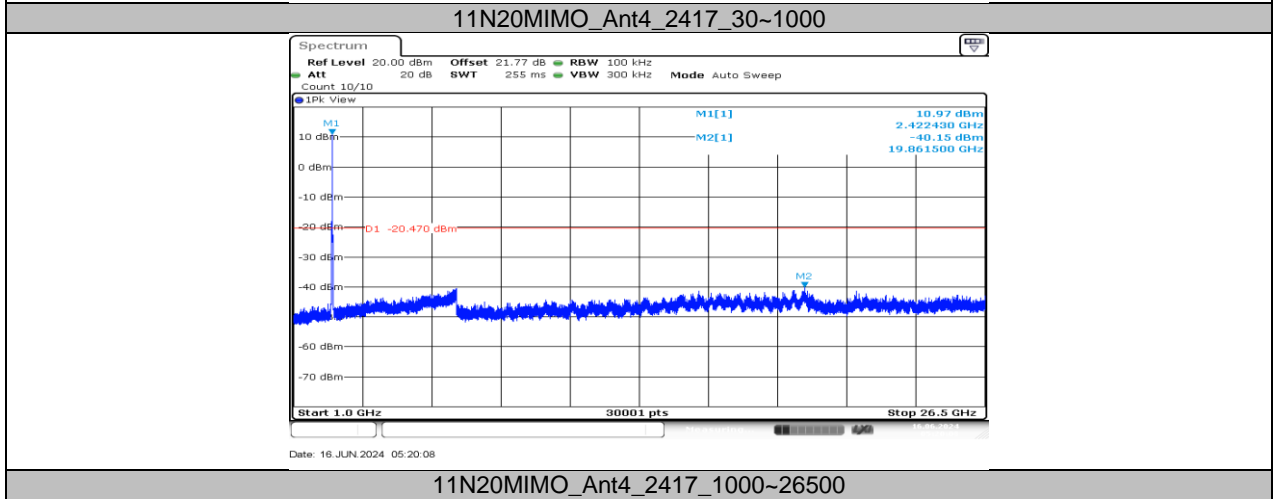
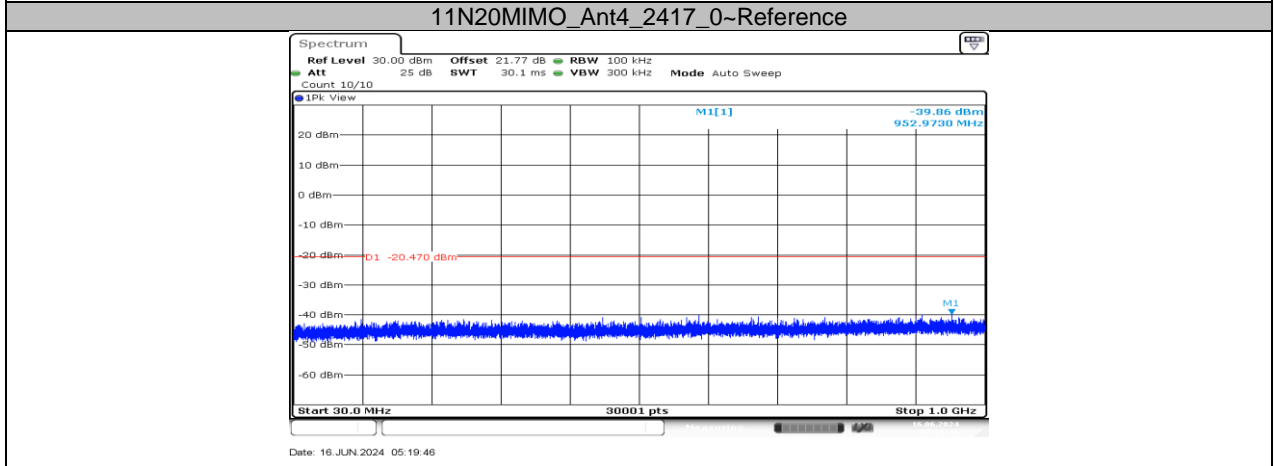
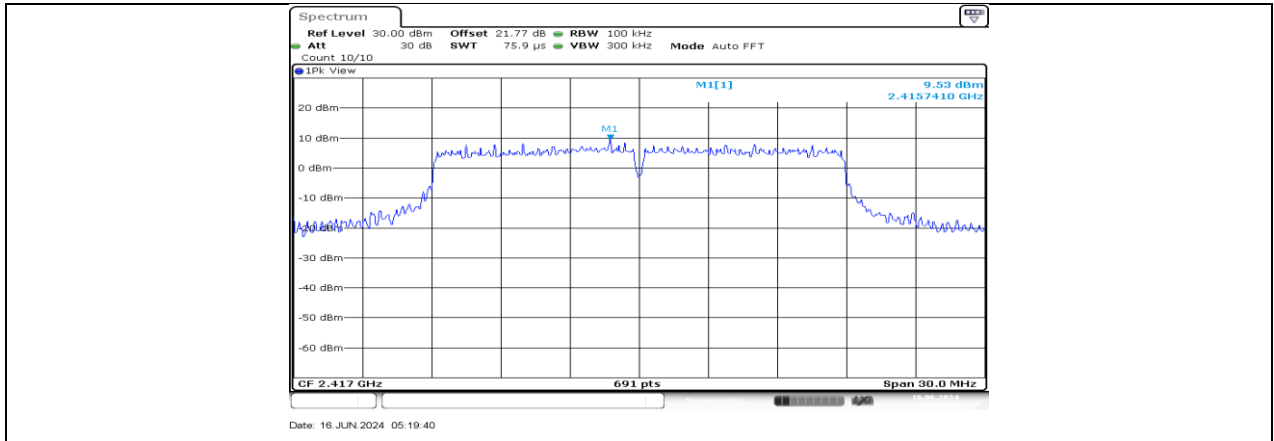


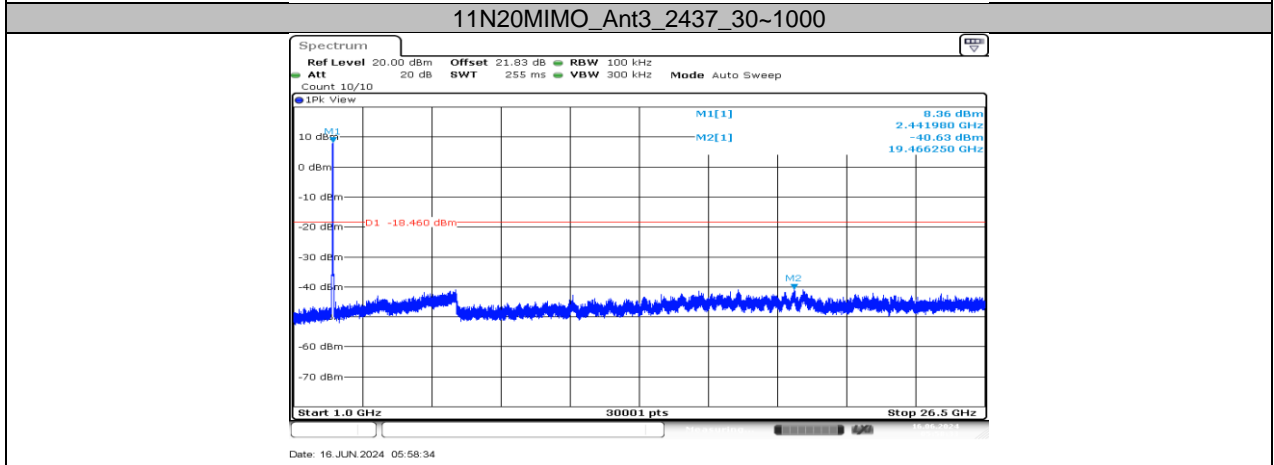
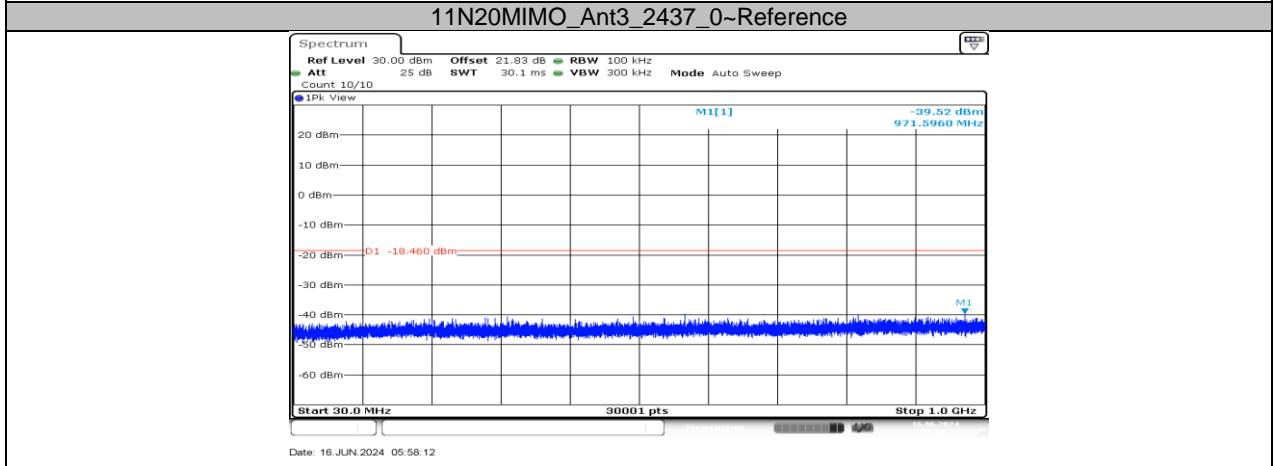
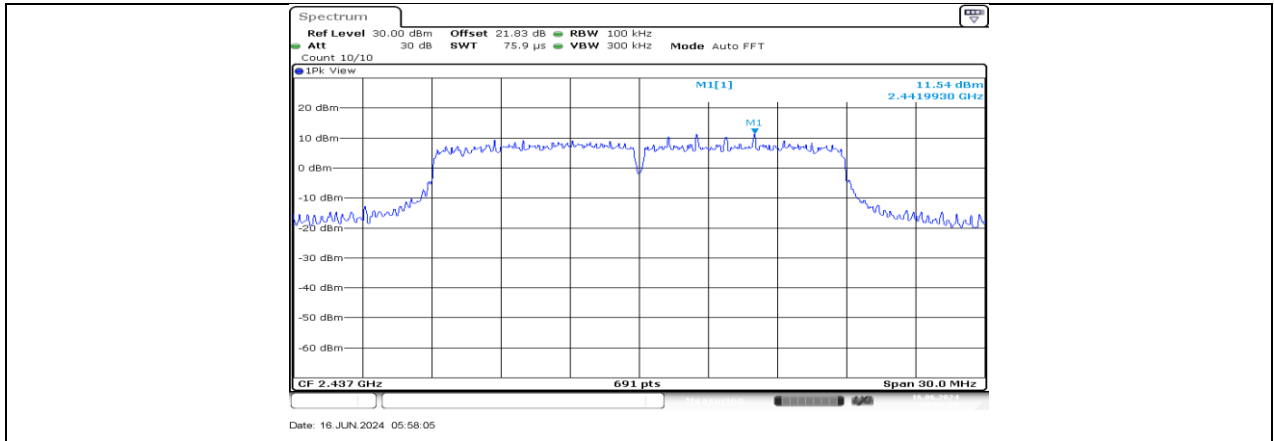
11N20MIMO_Ant4_2412_30~1000



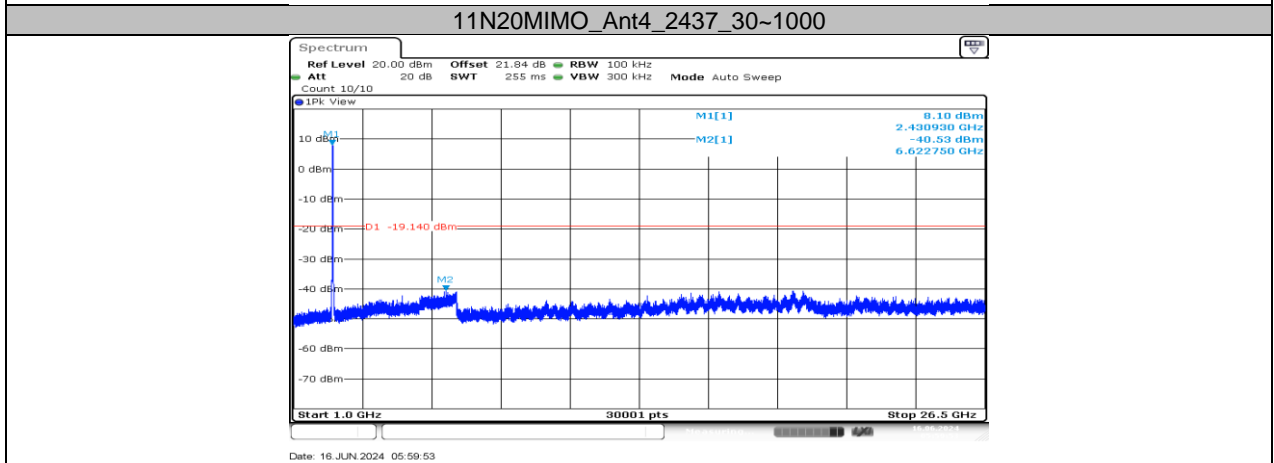
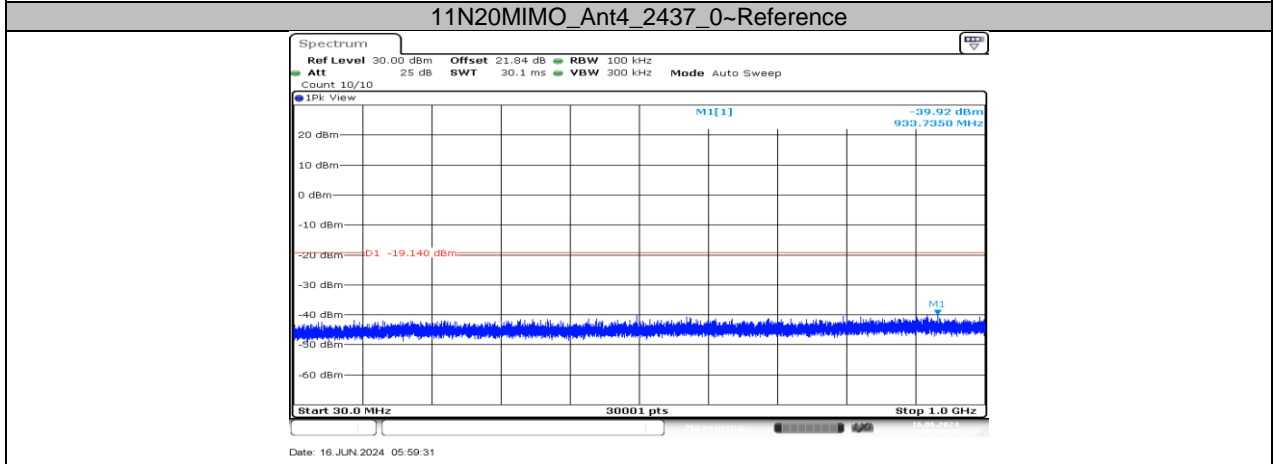
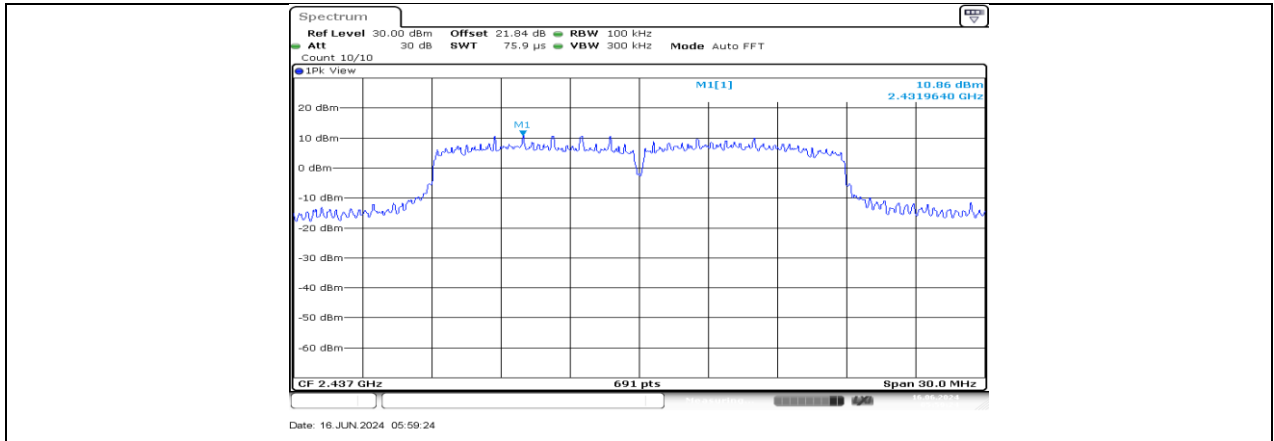
11N20MIMO_Ant4_2412_1000~26500



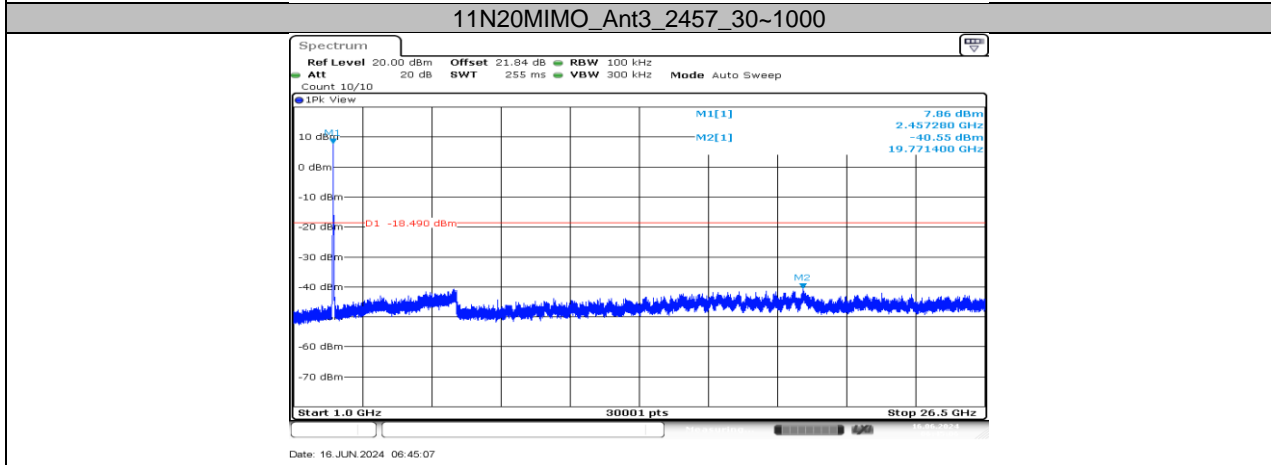
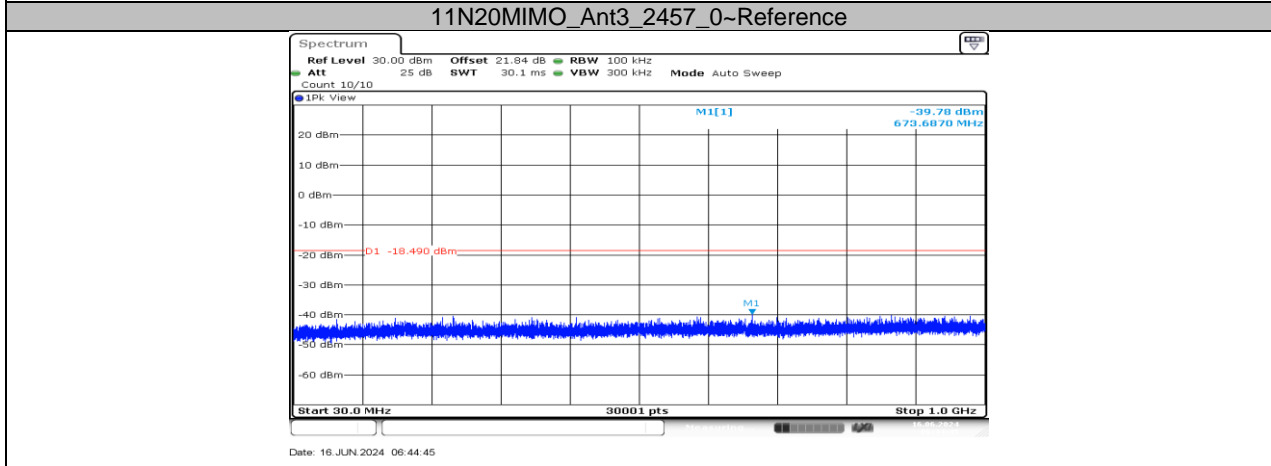
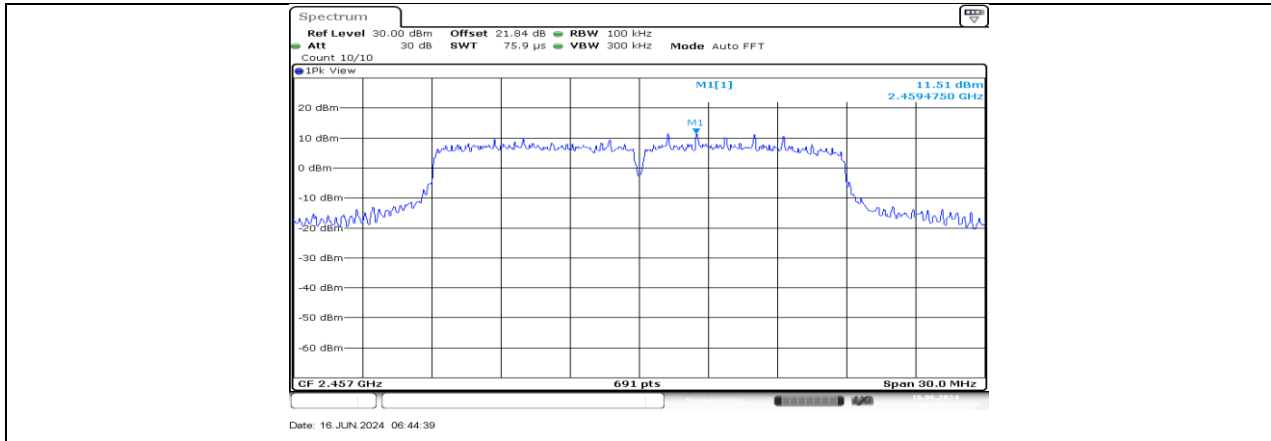




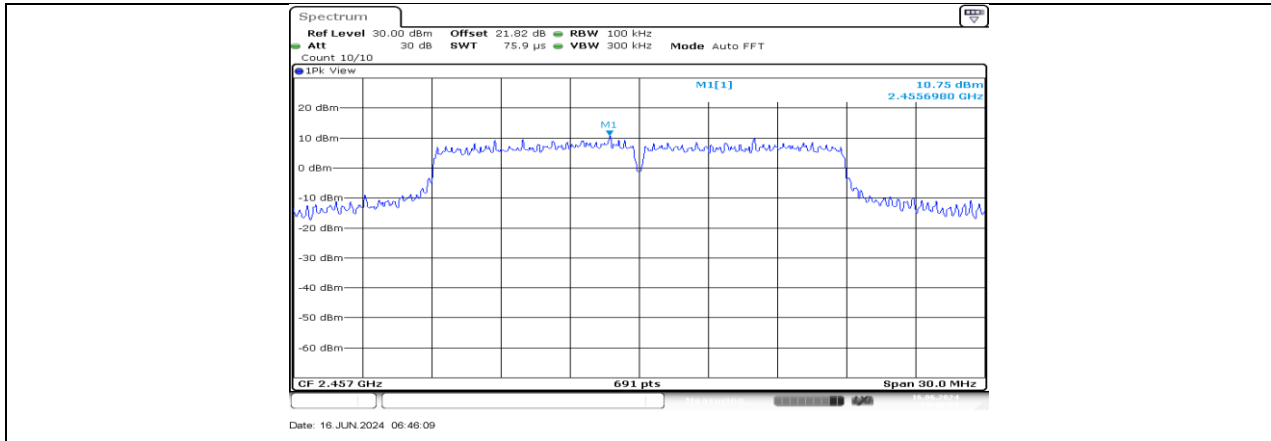
11N20MIMO_Ant3_2437_1000~26500



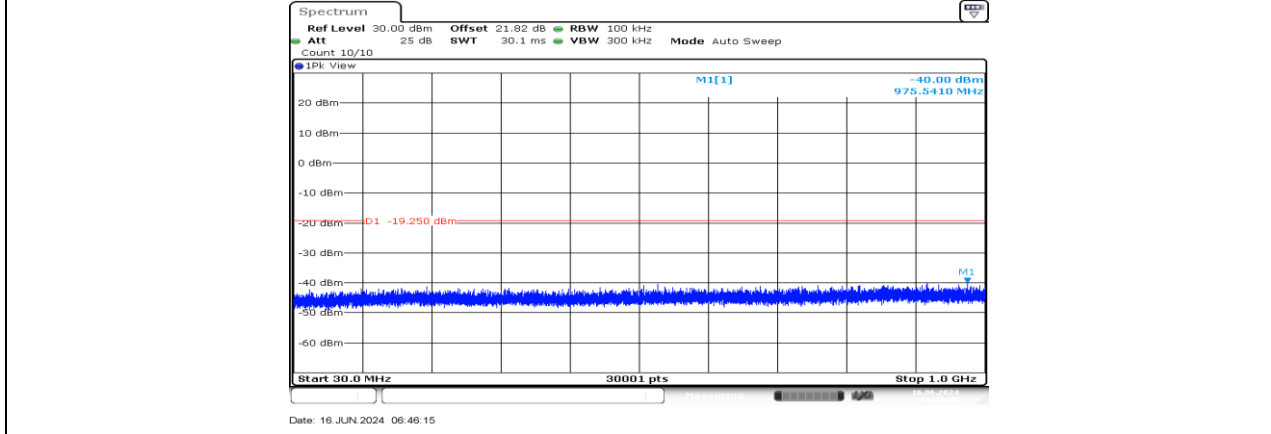
11N20MIMO_Ant4_2437_1000~26500



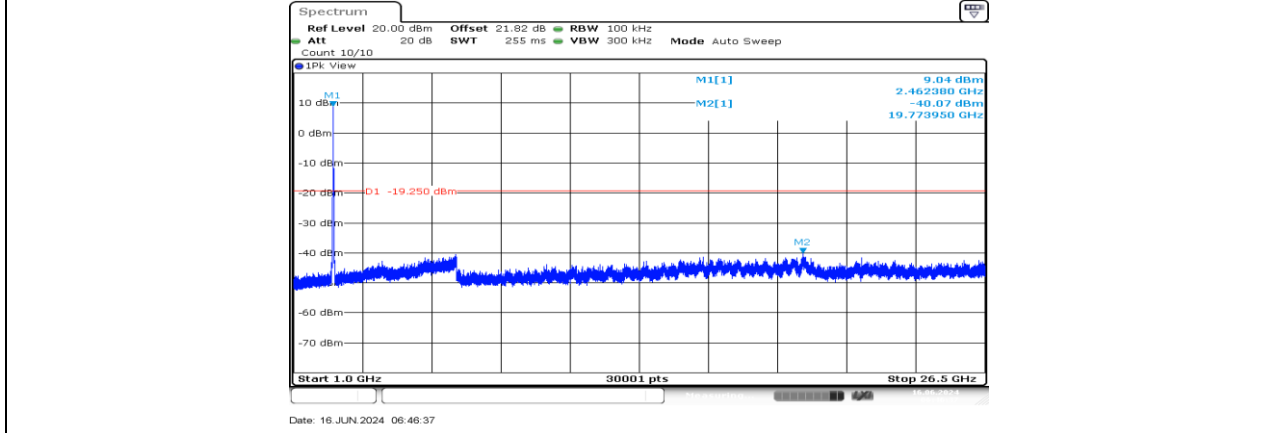
11N20MIMO_Ant3_2457_1000~26500



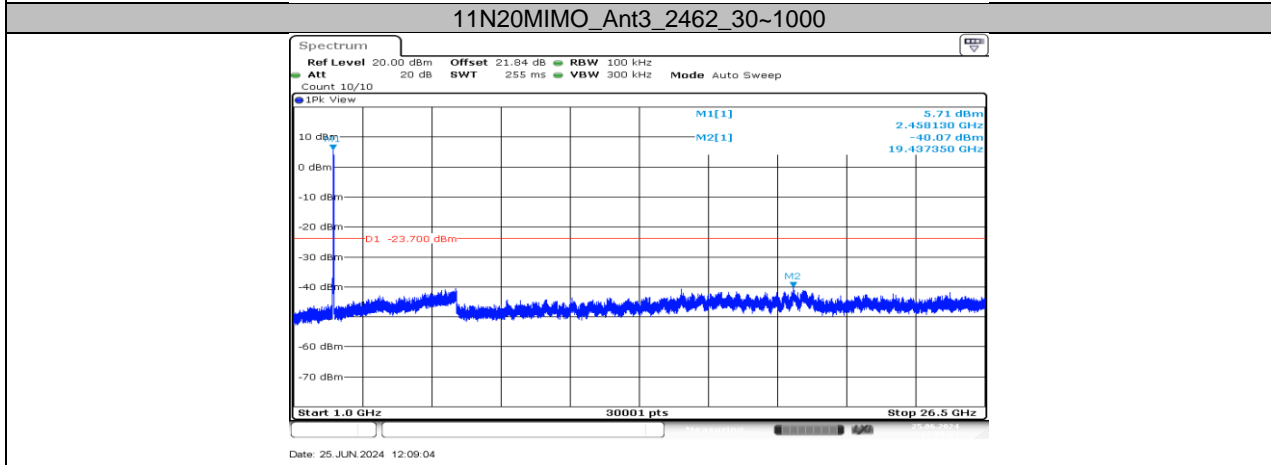
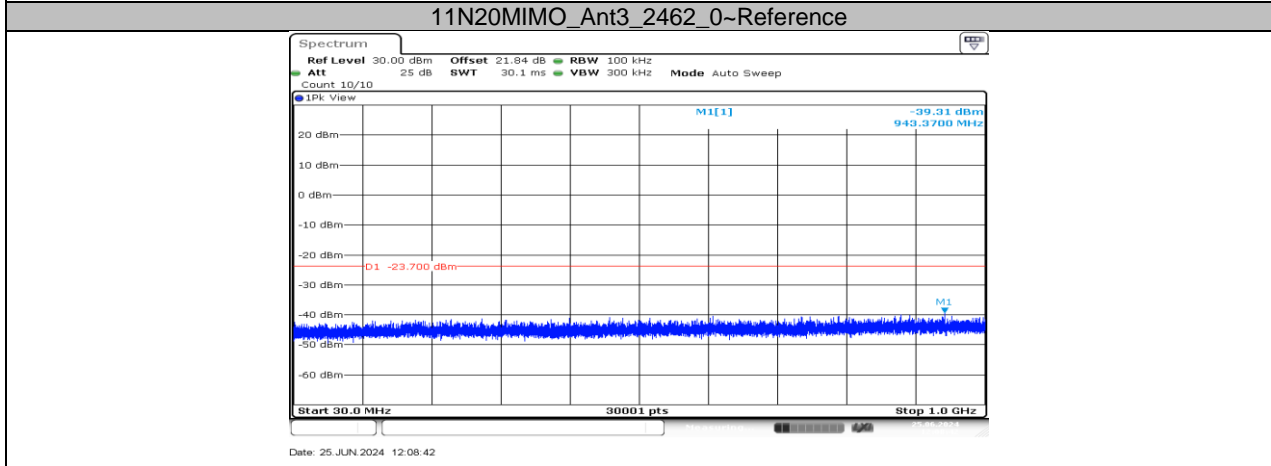
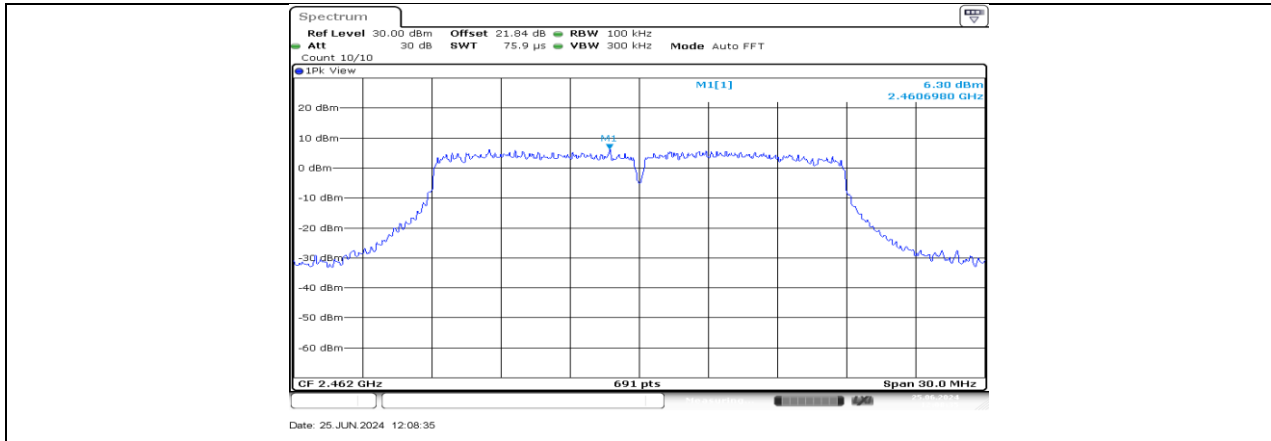
11N20MIMO_Ant4_2457_0~Reference



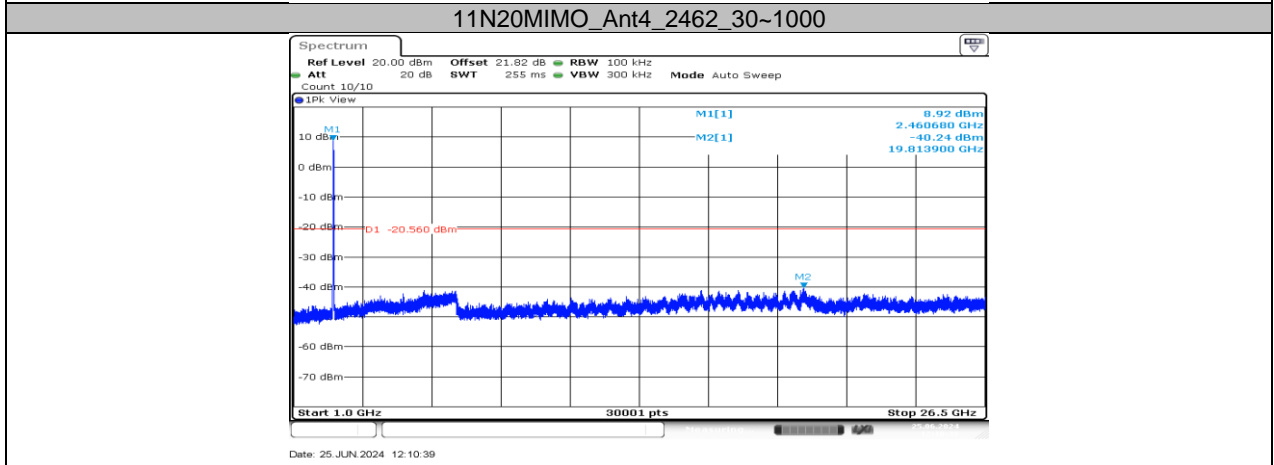
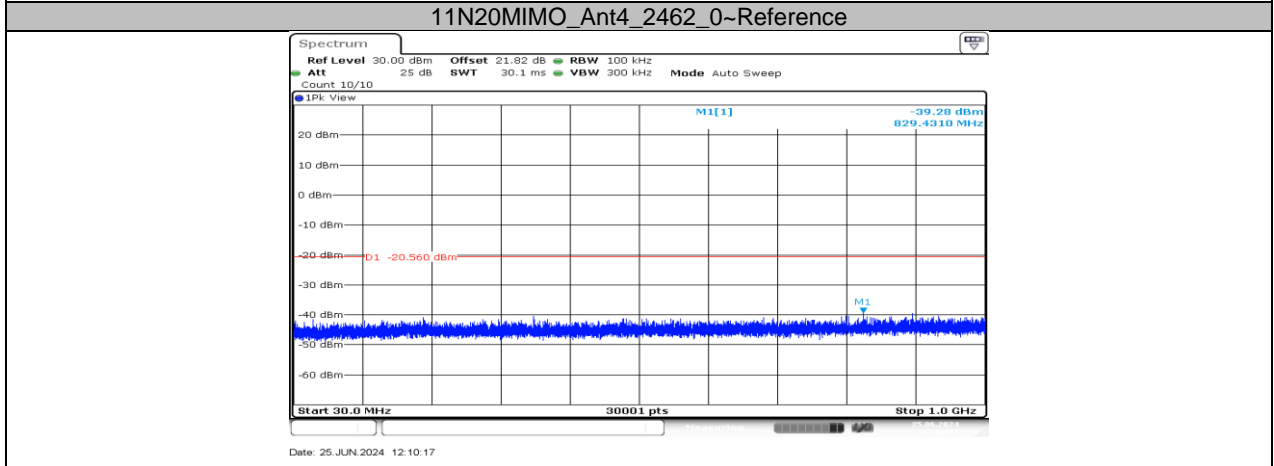
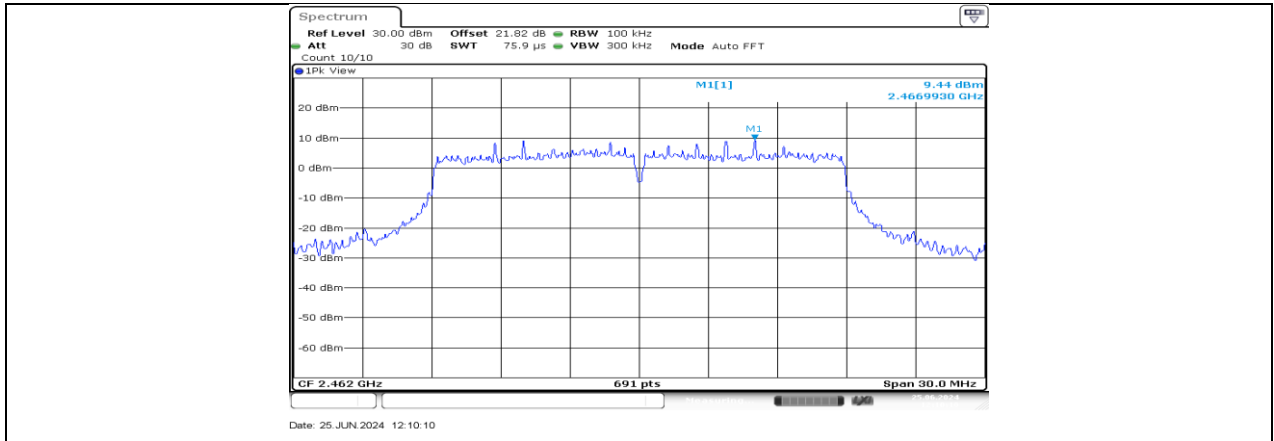
11N20MIMO_Ant4_2457_30~1000



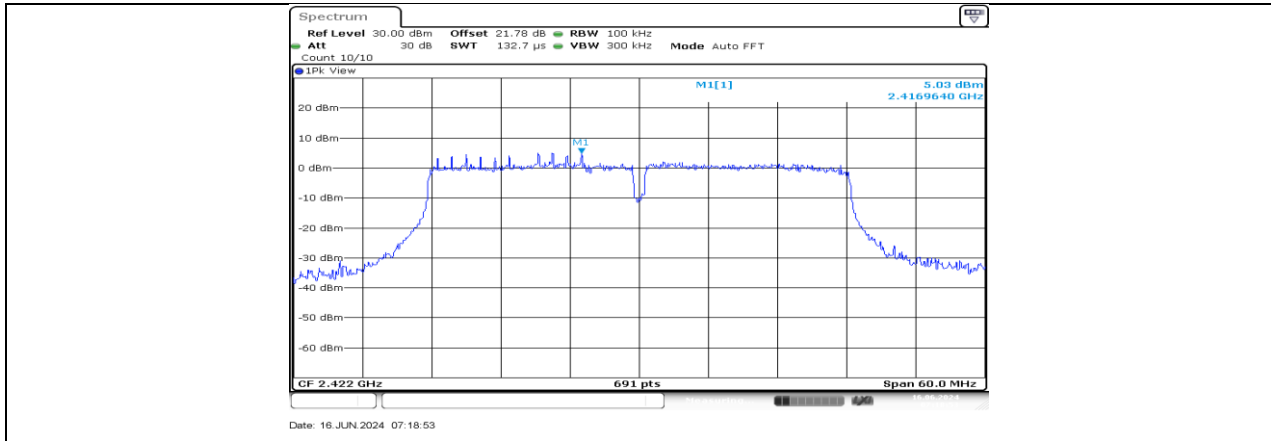
11N20MIMO_Ant4_2457_1000~26500



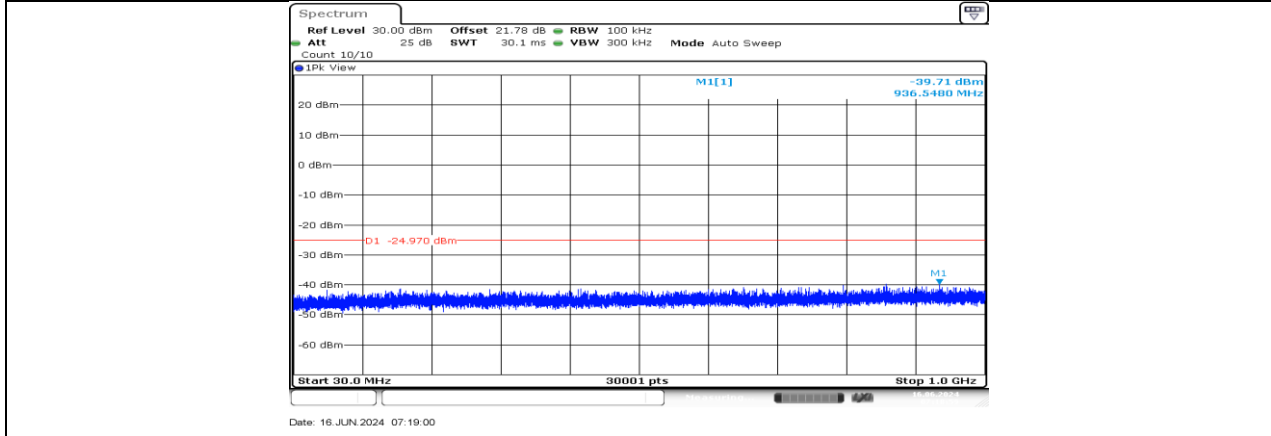
11N20MIMO_Ant3_2462_1000~26500



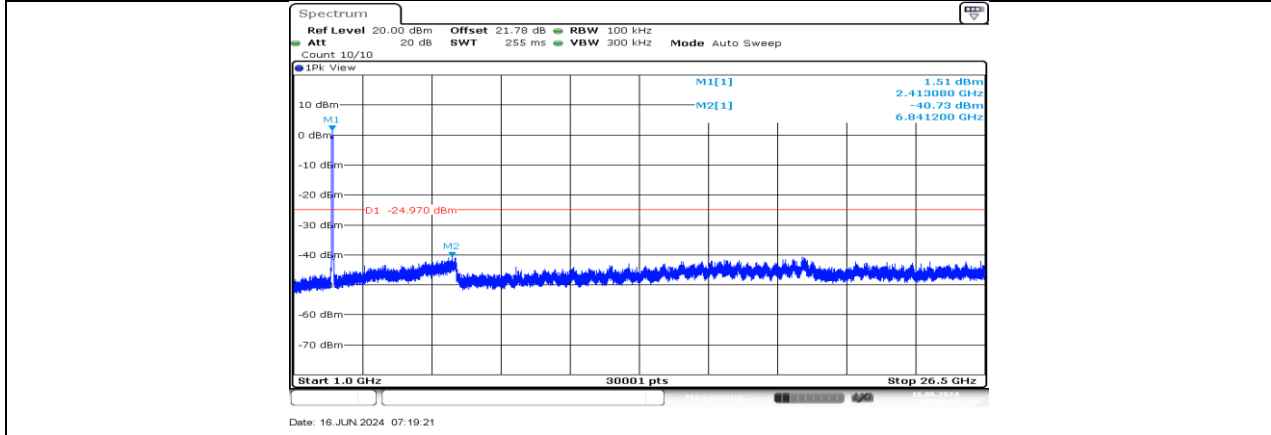
11N20MIMO_Ant4_2462_1000~26500



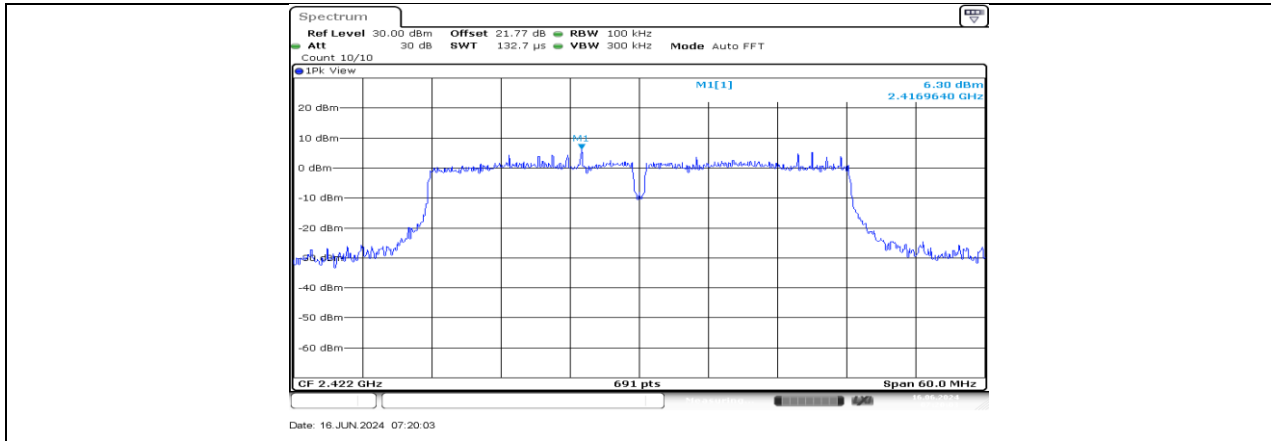
11N40MIMO_Ant3_2422_0~Reference



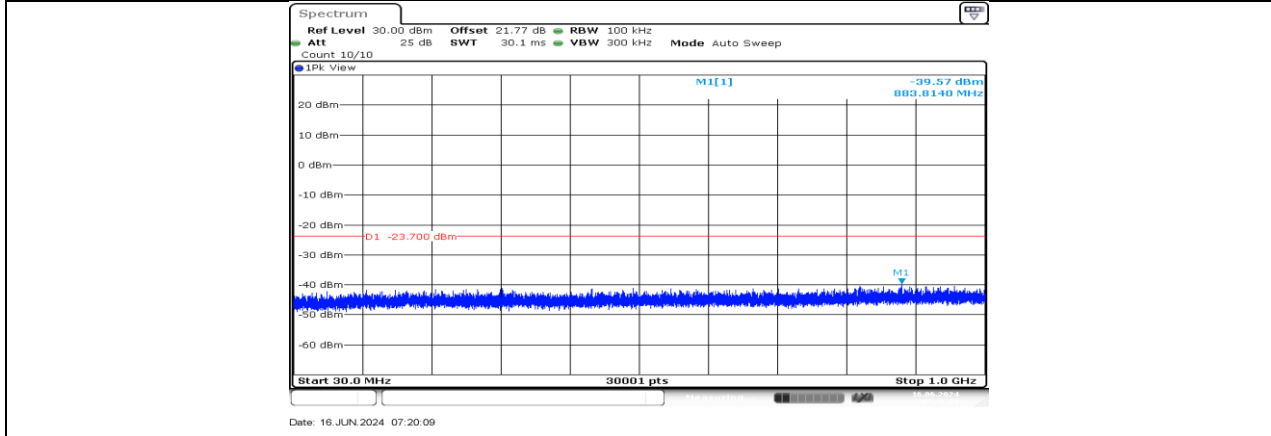
11N40MIMO_Ant3_2422_30~1000



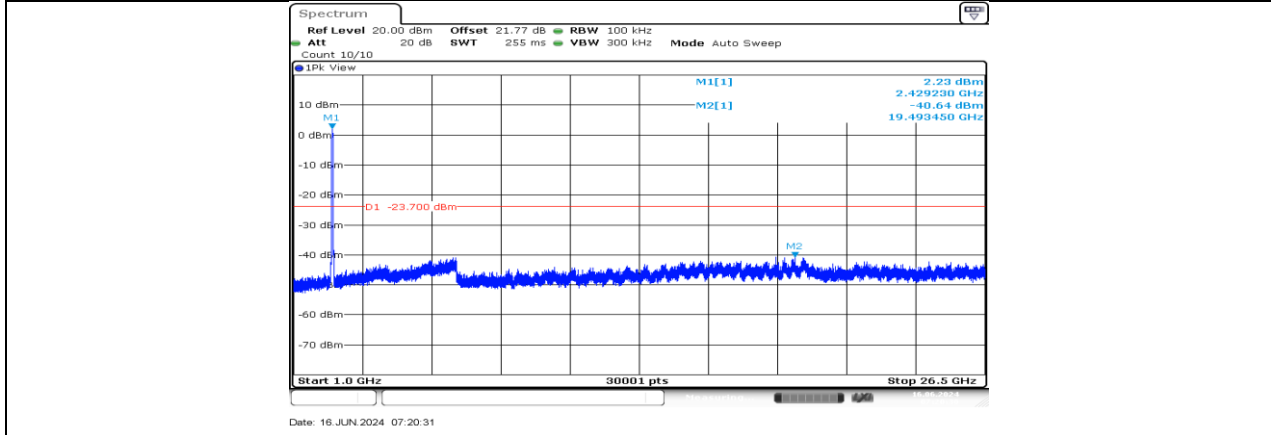
11N40MIMO_Ant3_2422_1000~26500



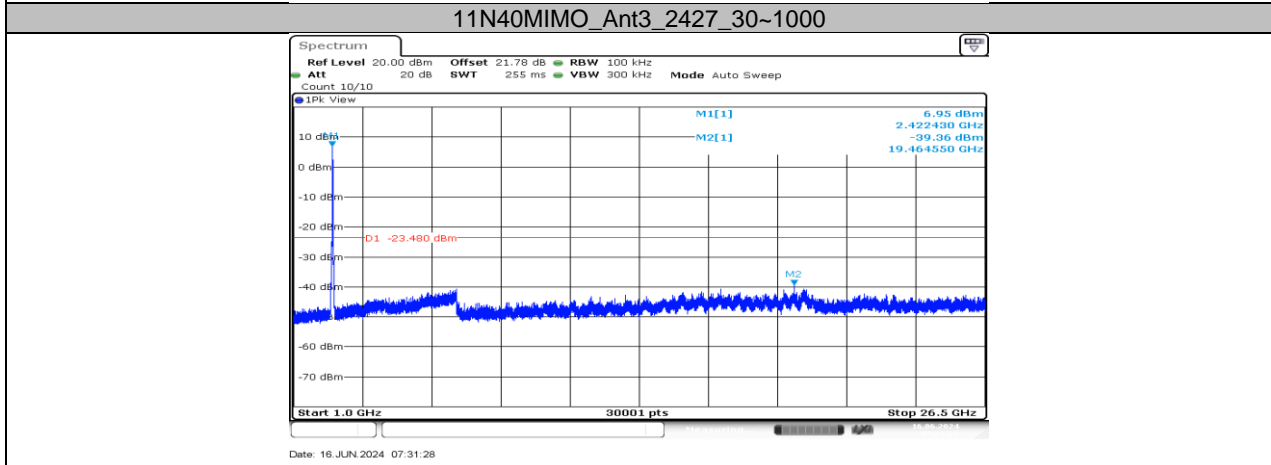
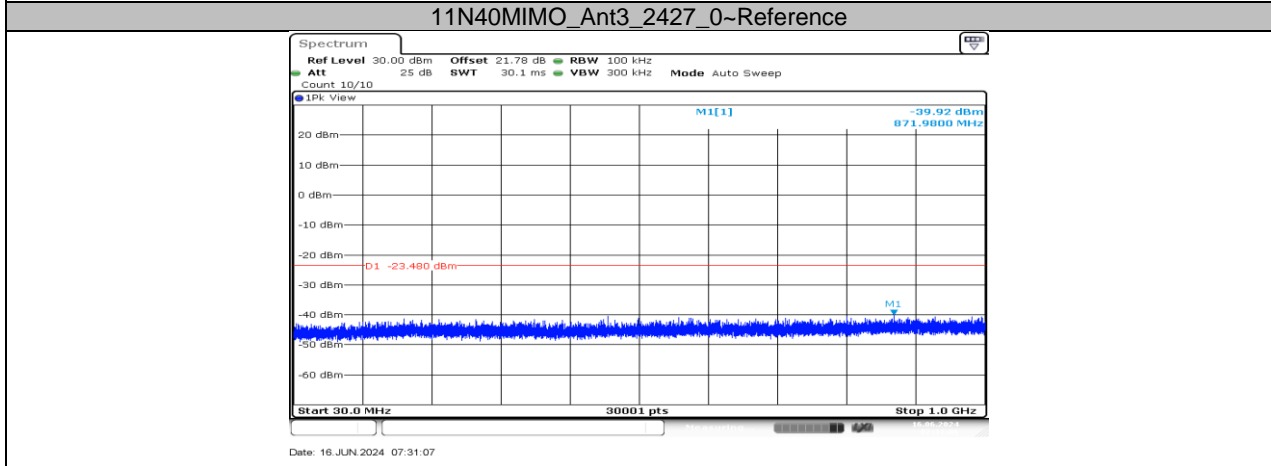
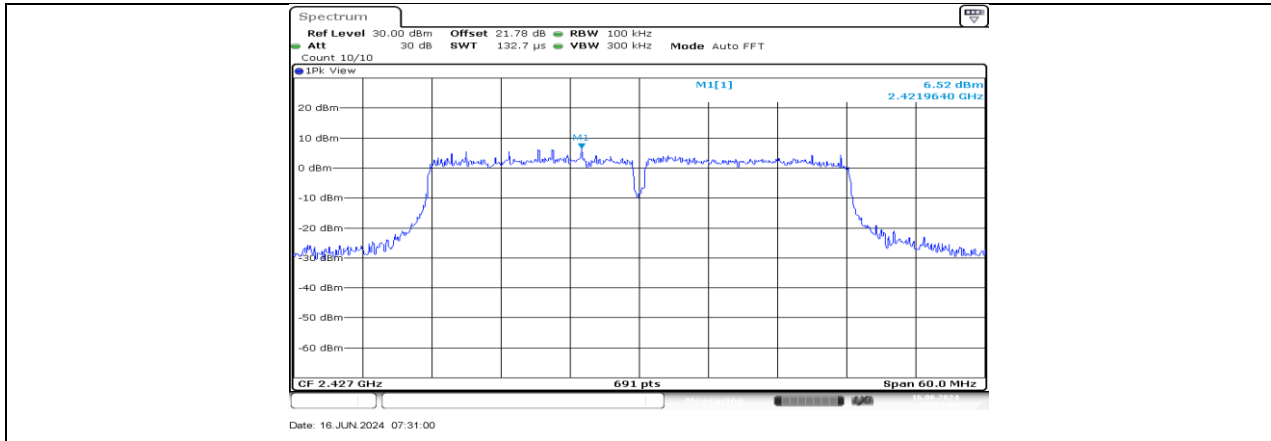
11N40MIMO_Ant4_2422_0~Reference



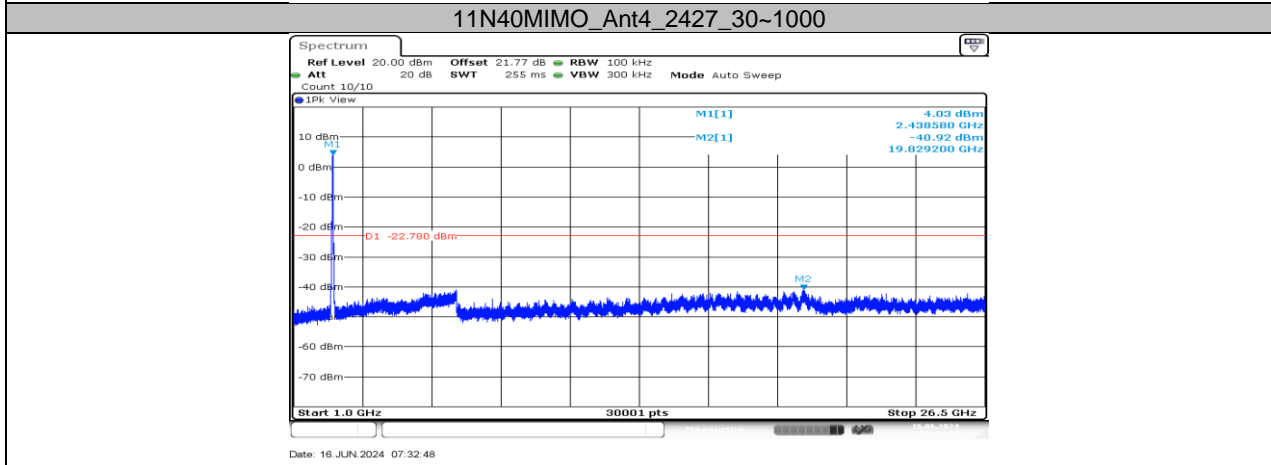
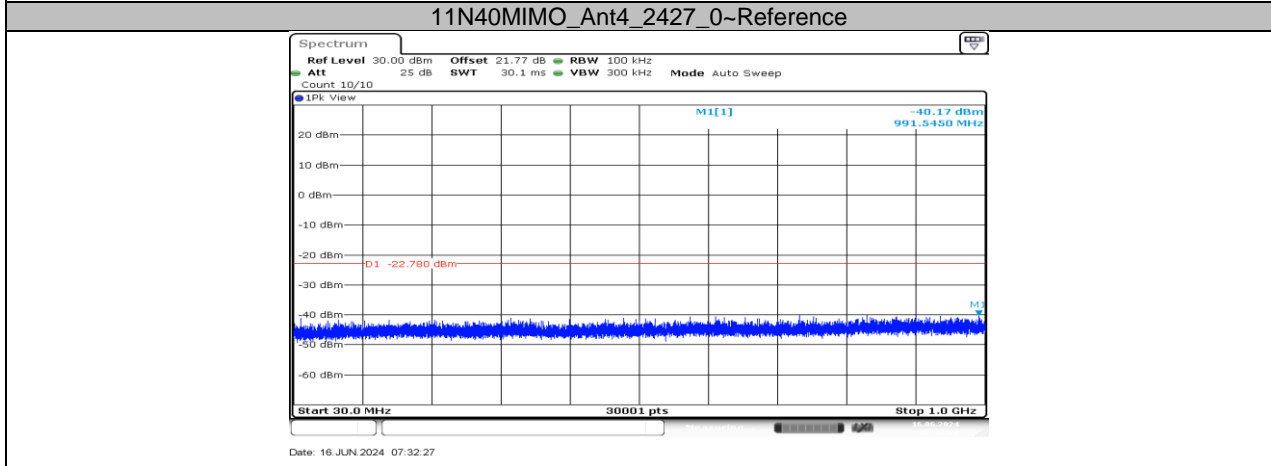
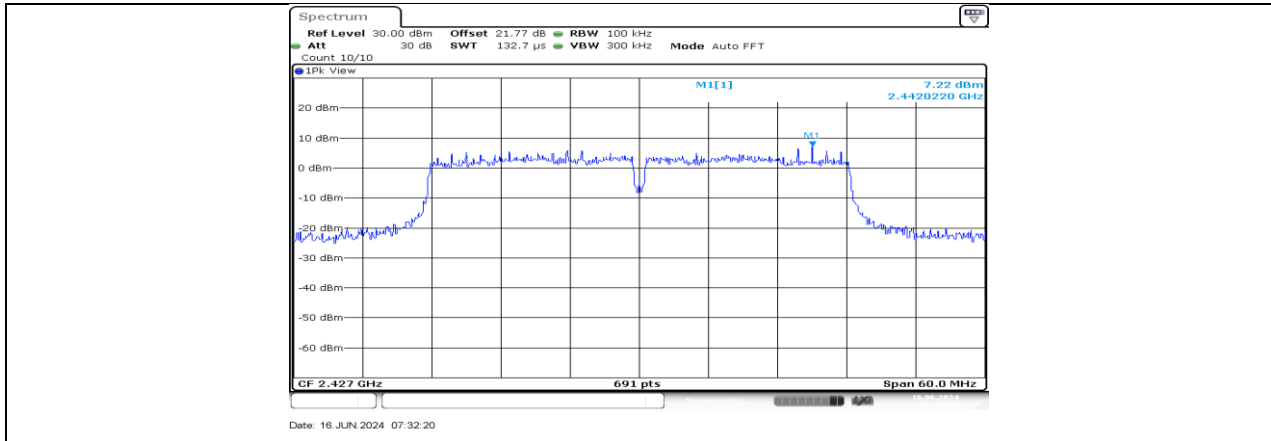
11N40MIMO_Ant4_2422_30~1000



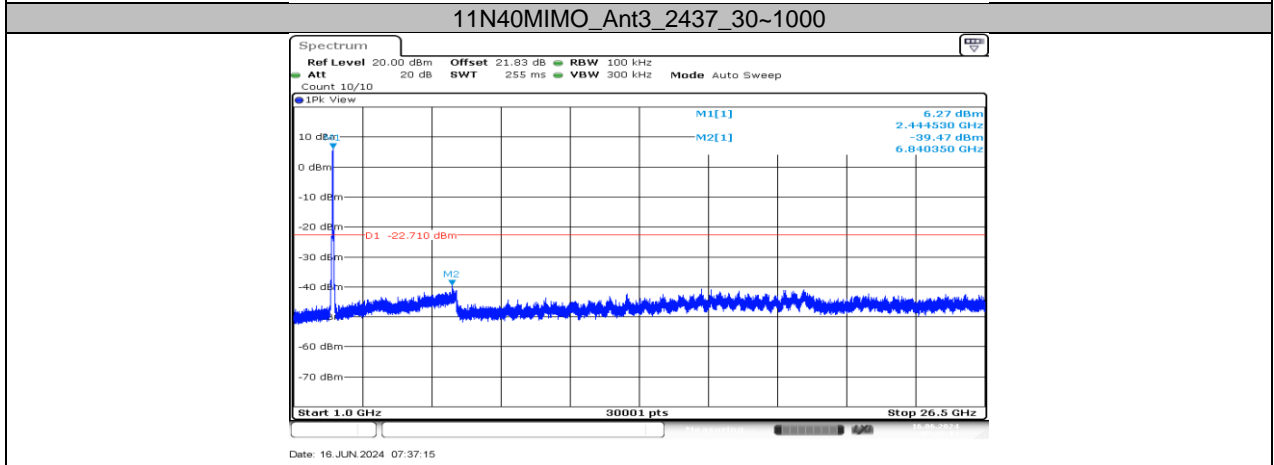
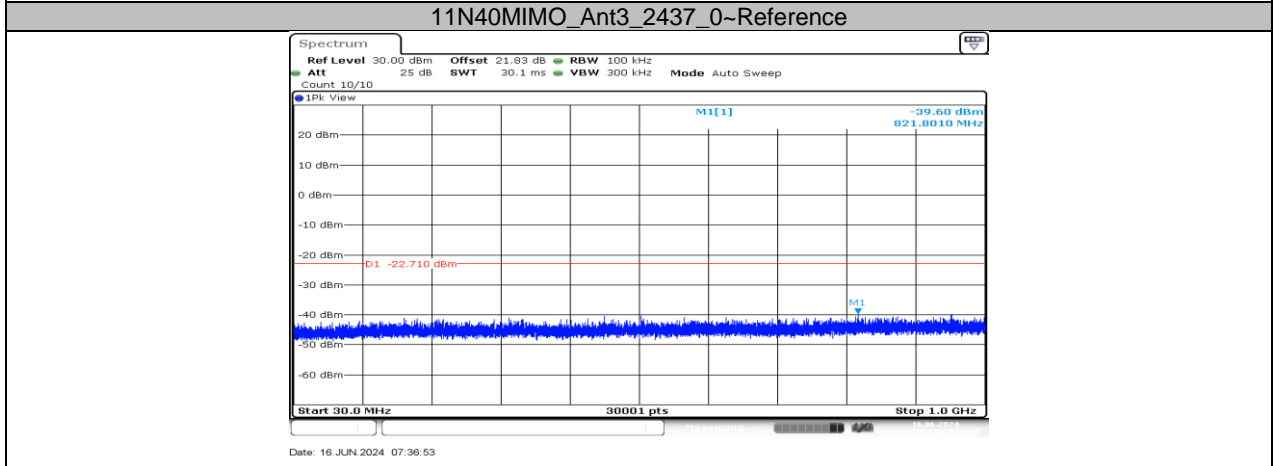
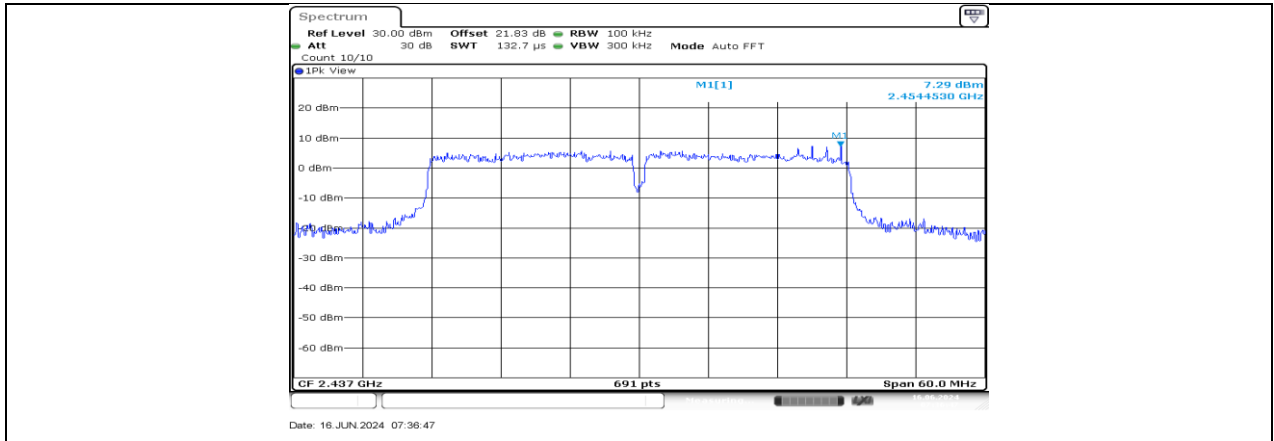
11N40MIMO_Ant4_2422_1000~26500



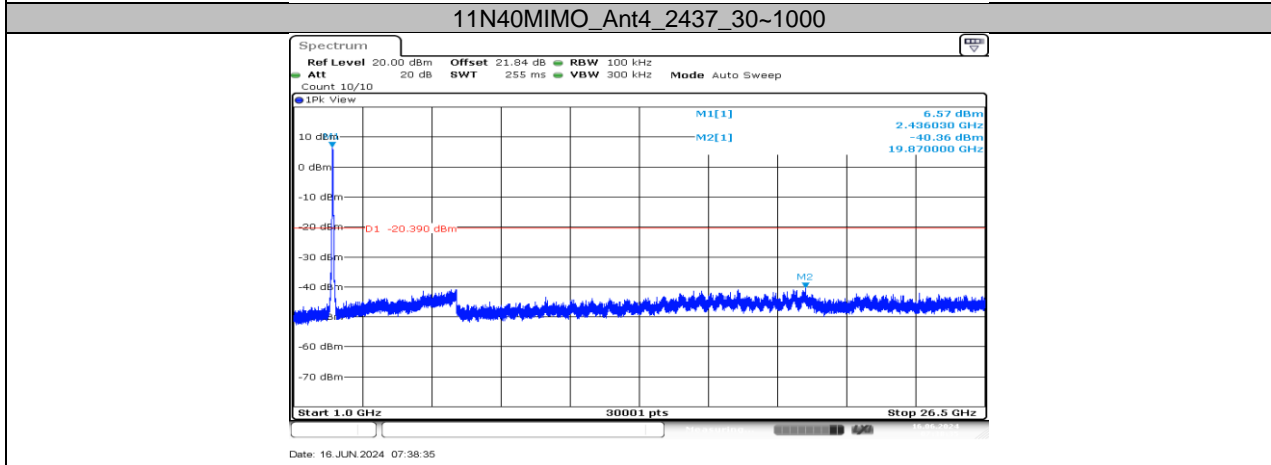
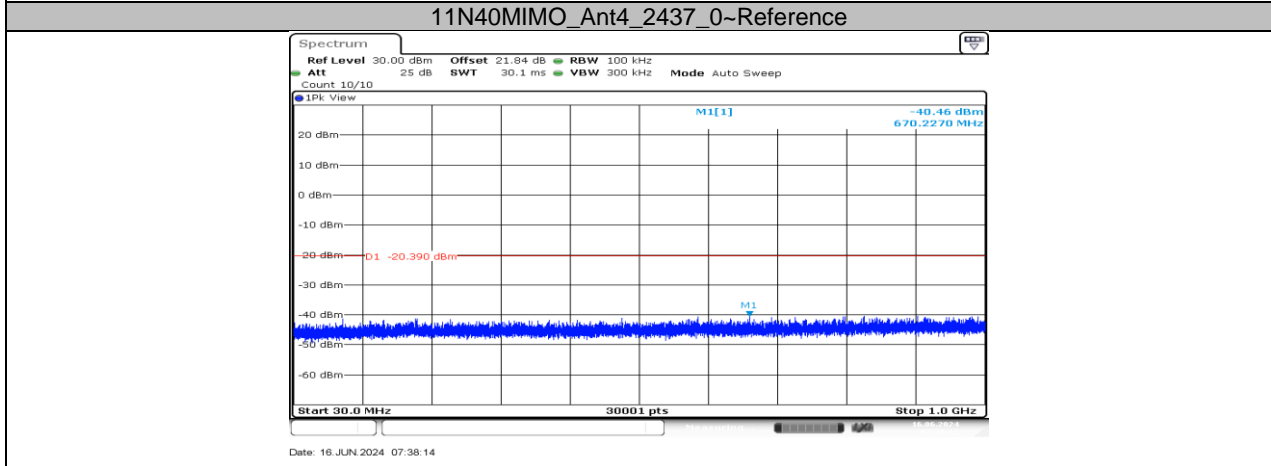
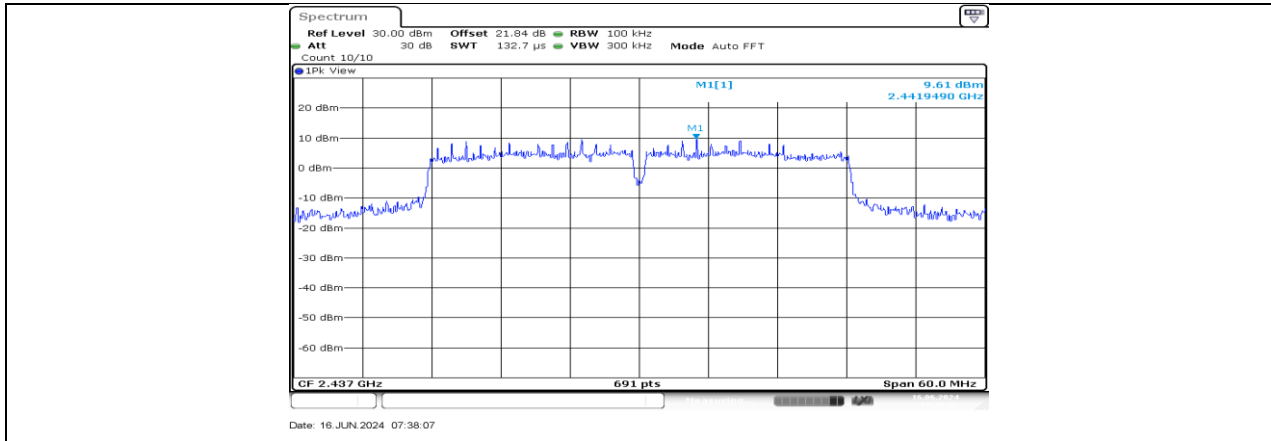
11N40MIMO_Ant3_2427_1000~26500



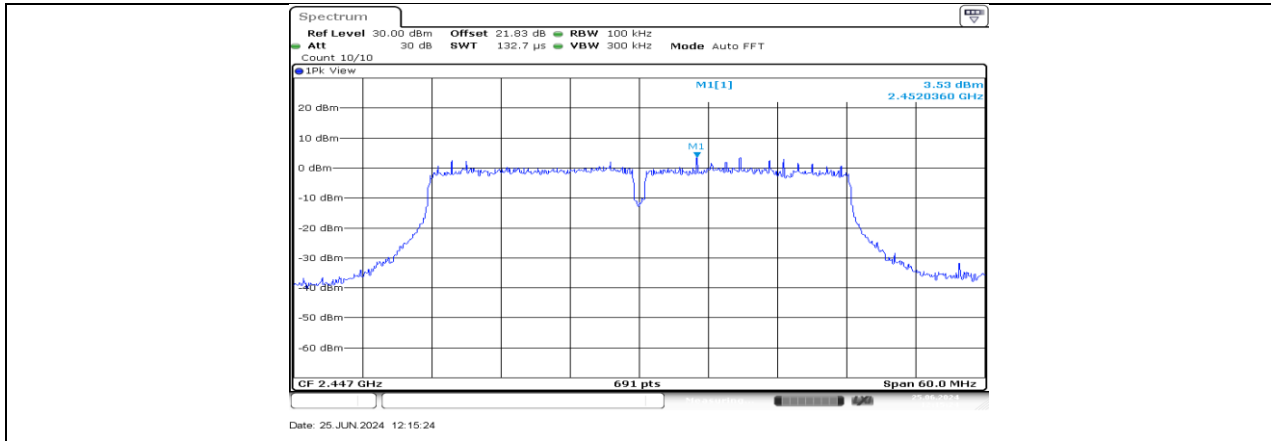
11N40MIMO_Ant4_2427_1000~26500



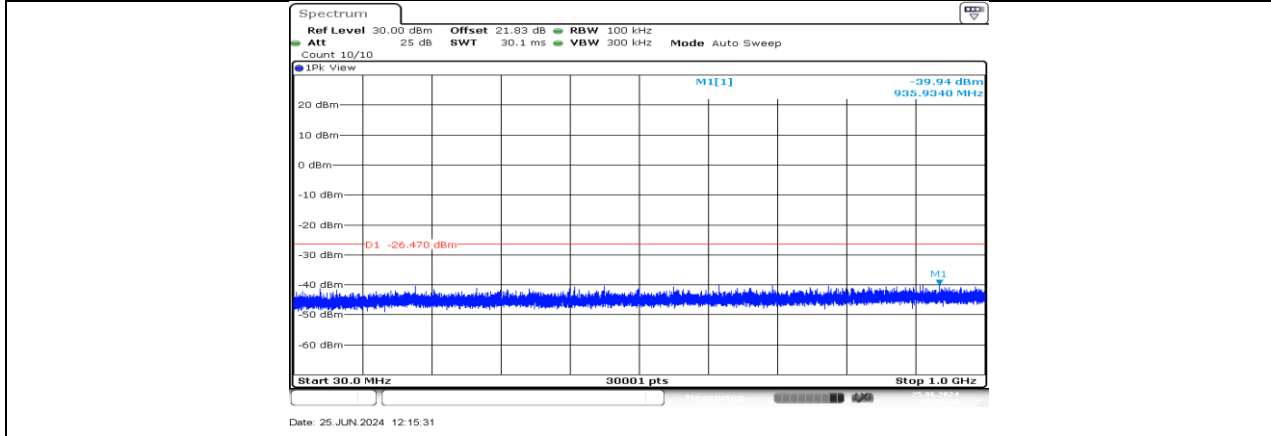
11N40MIMO_Ant3_2437_1000~26500



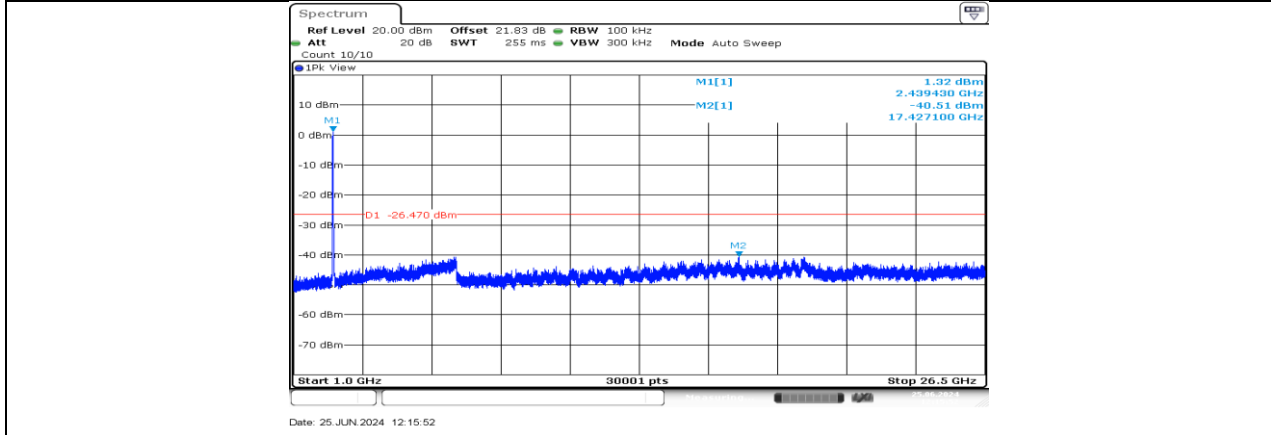
11N40MIMO_Ant4_2437_1000~26500



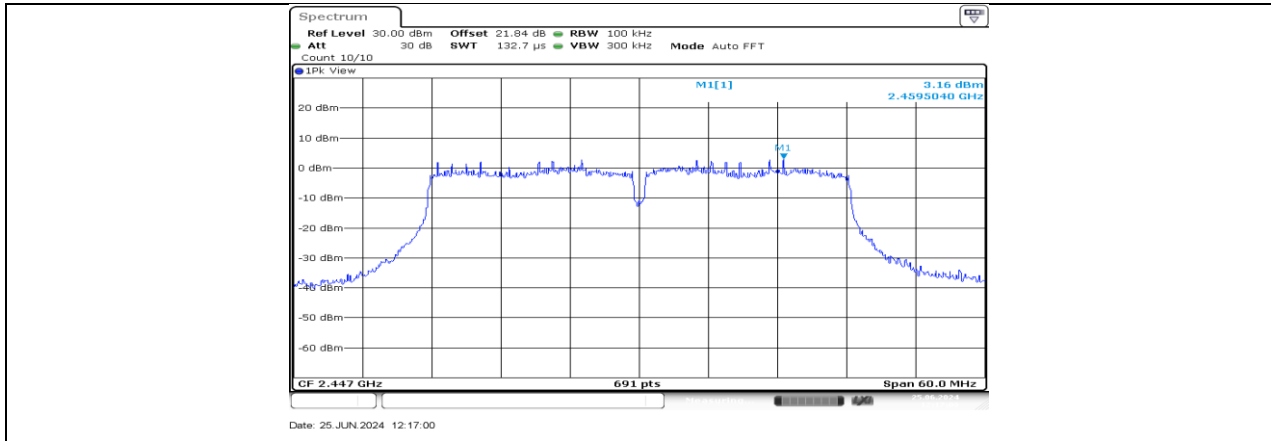
11N40MIMO_Ant3_2447_0~Reference



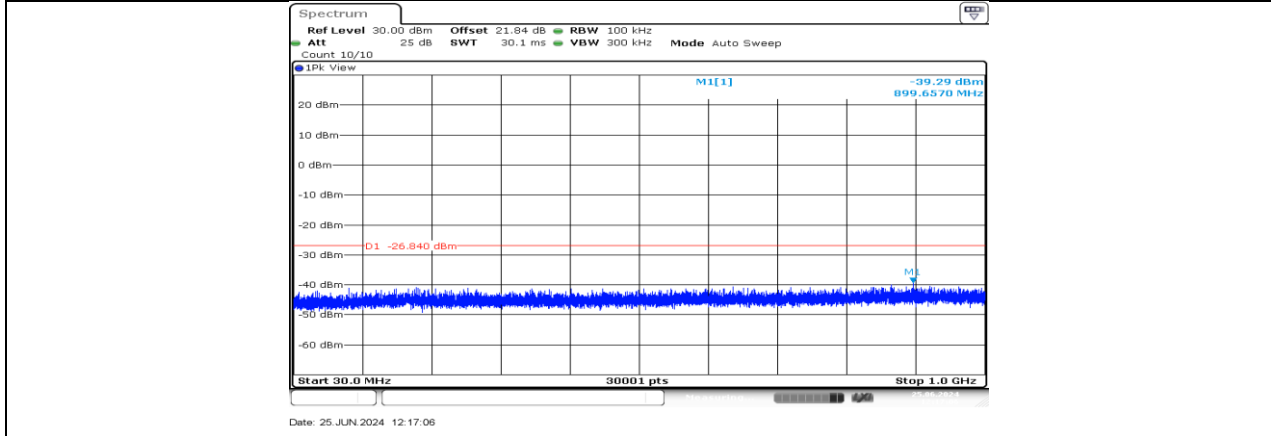
11N40MIMO_Ant3_2447_30~1000



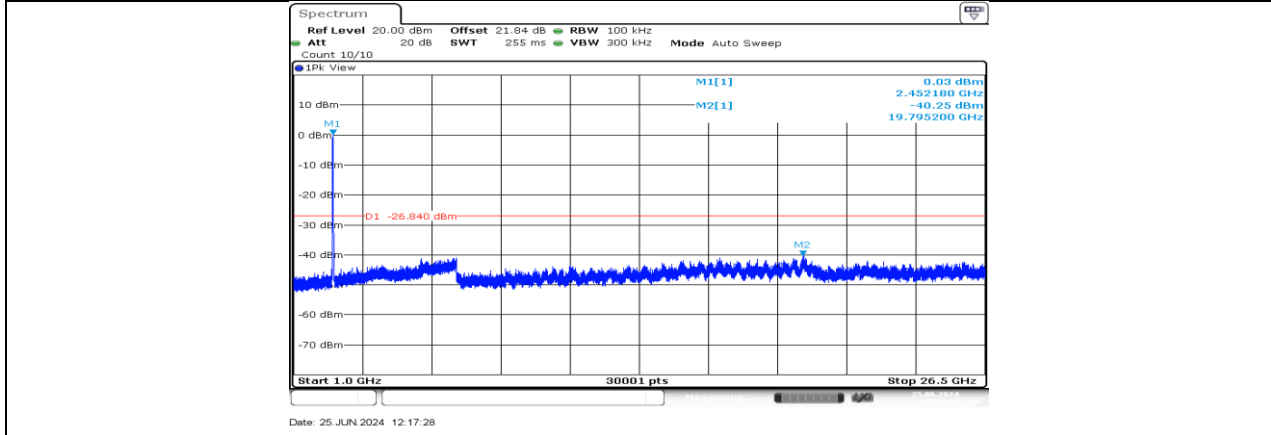
11N40MIMO_Ant3_2447_1000~26500



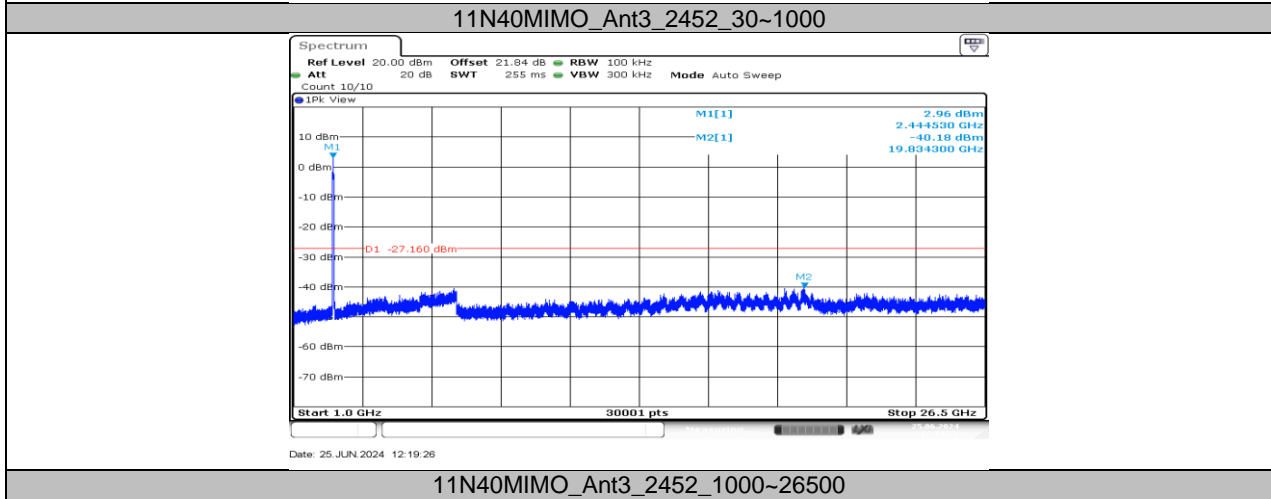
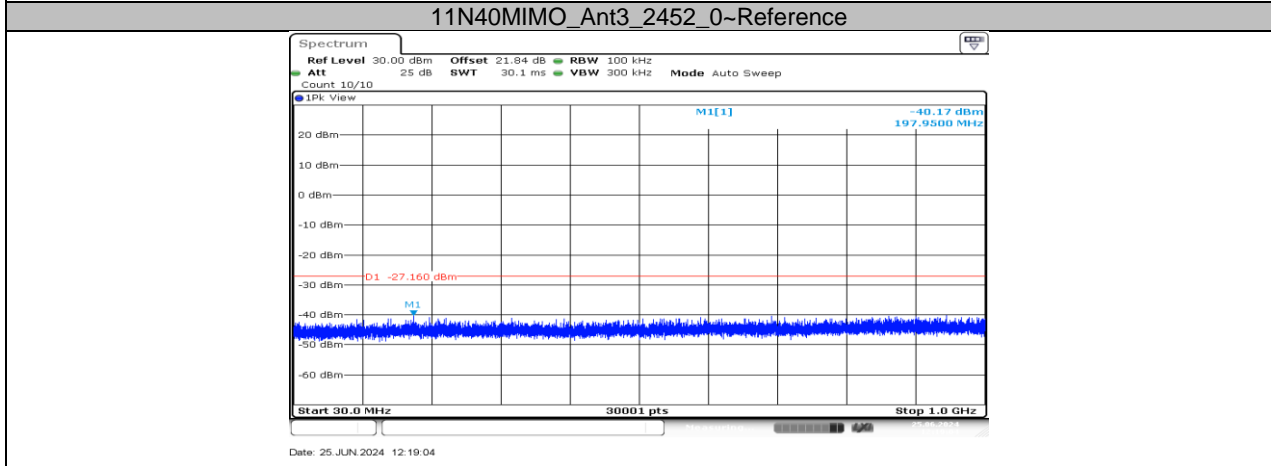
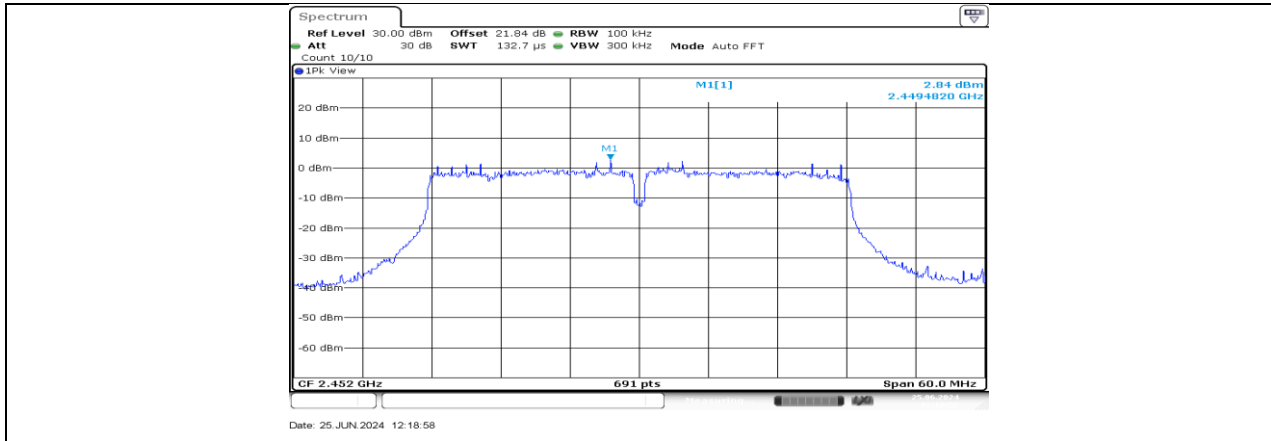
11N40MIMO_Ant4_2447_0~Reference

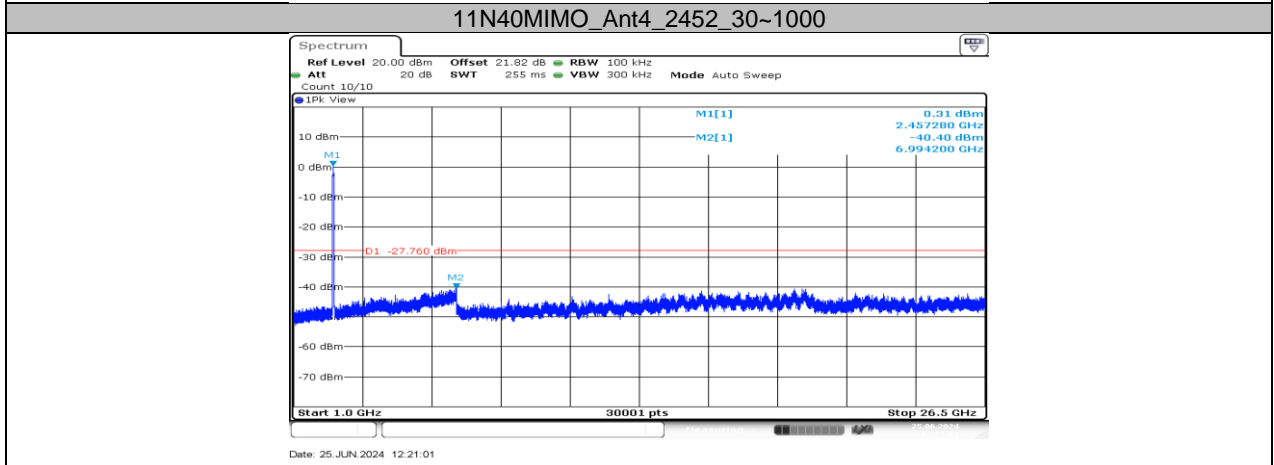
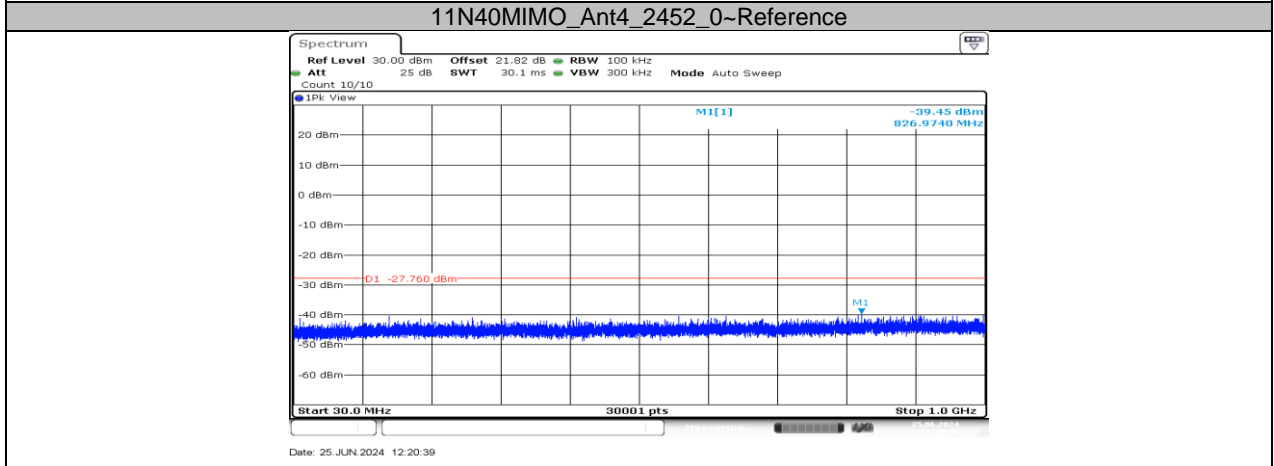
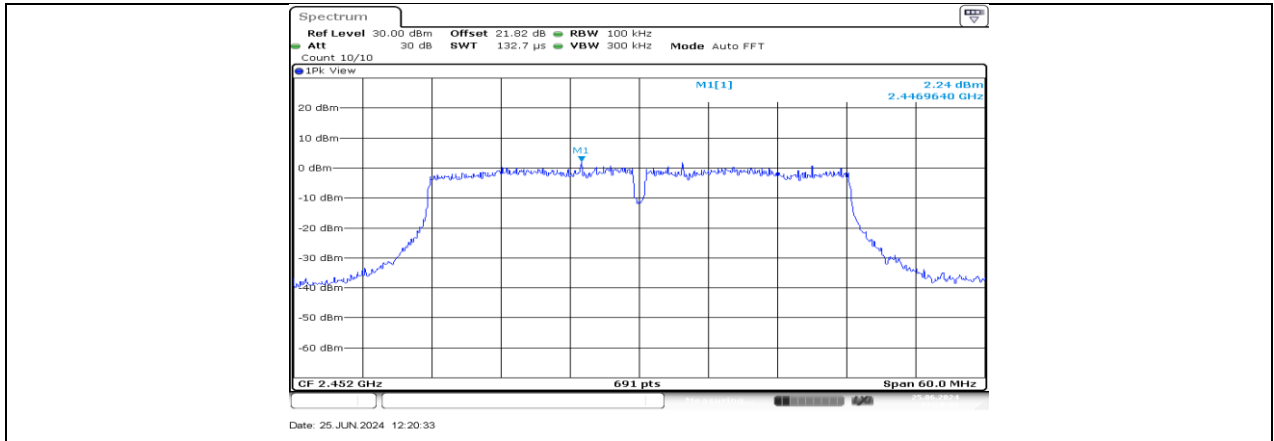


11N40MIMO_Ant4_2447_30~1000

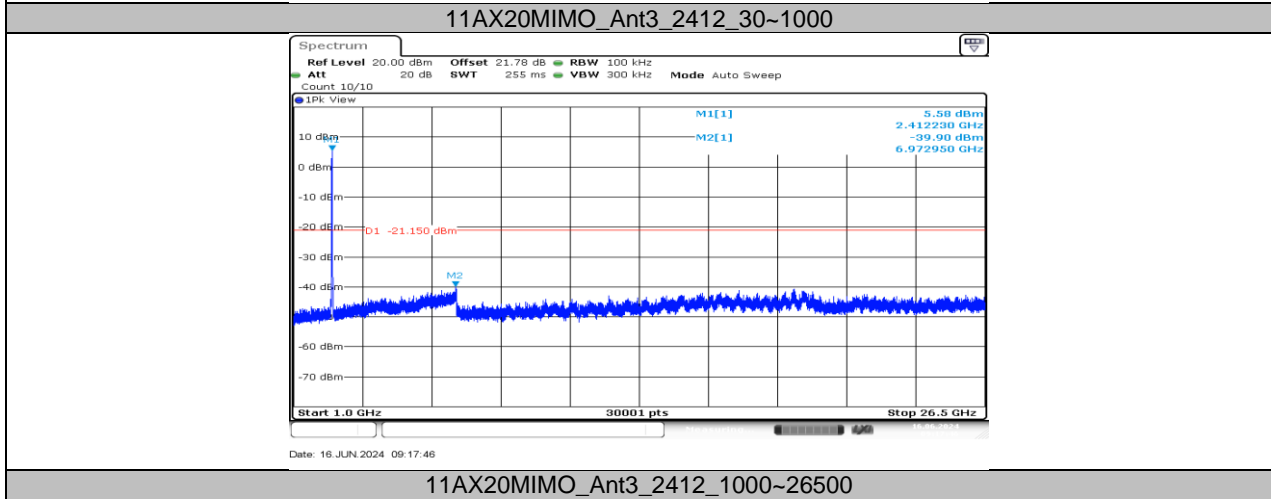
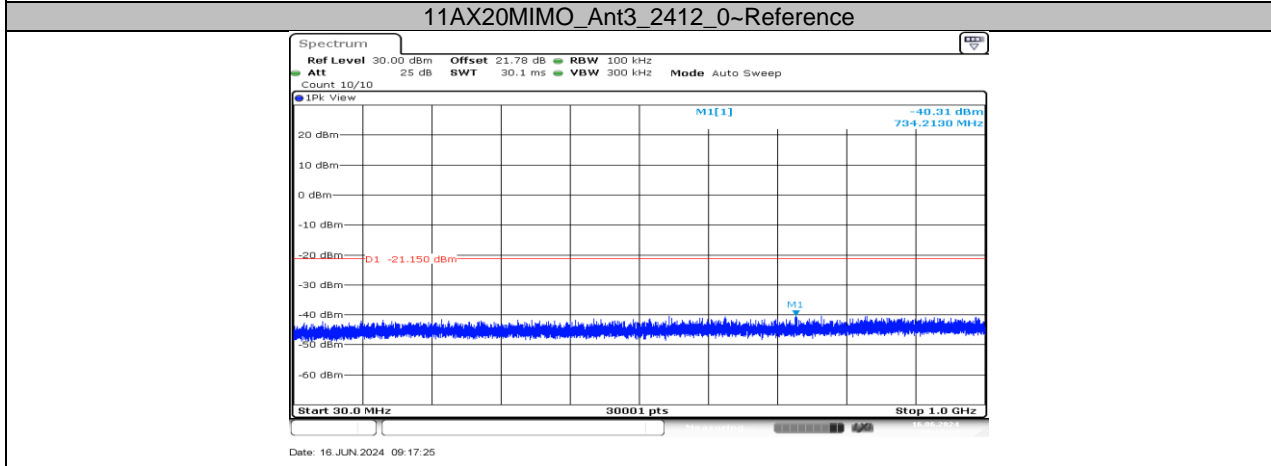
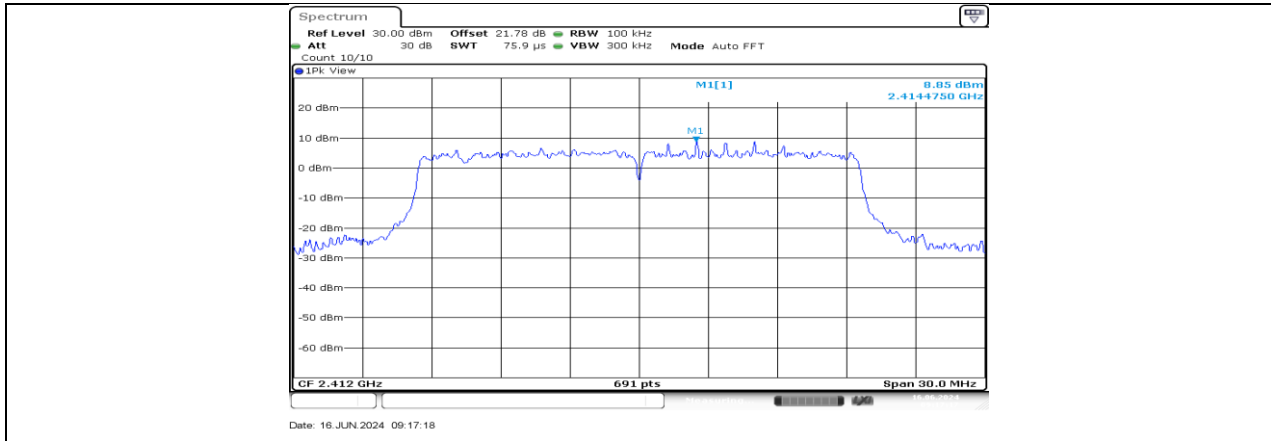


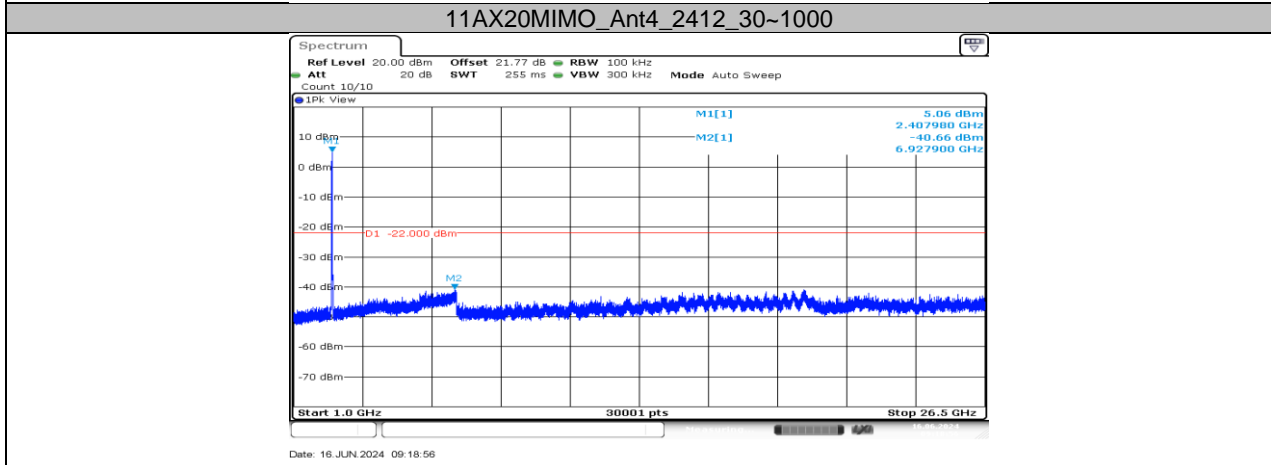
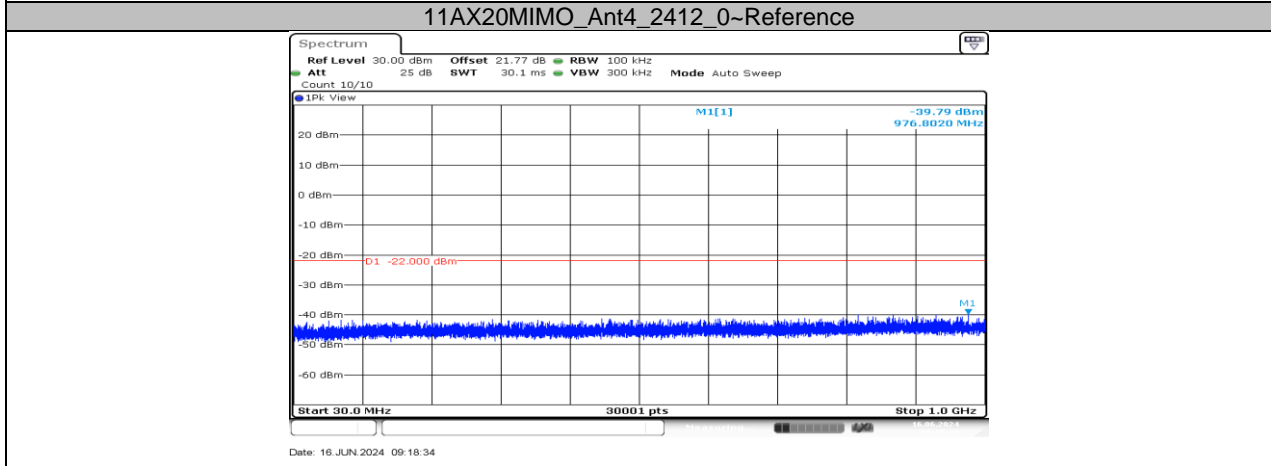
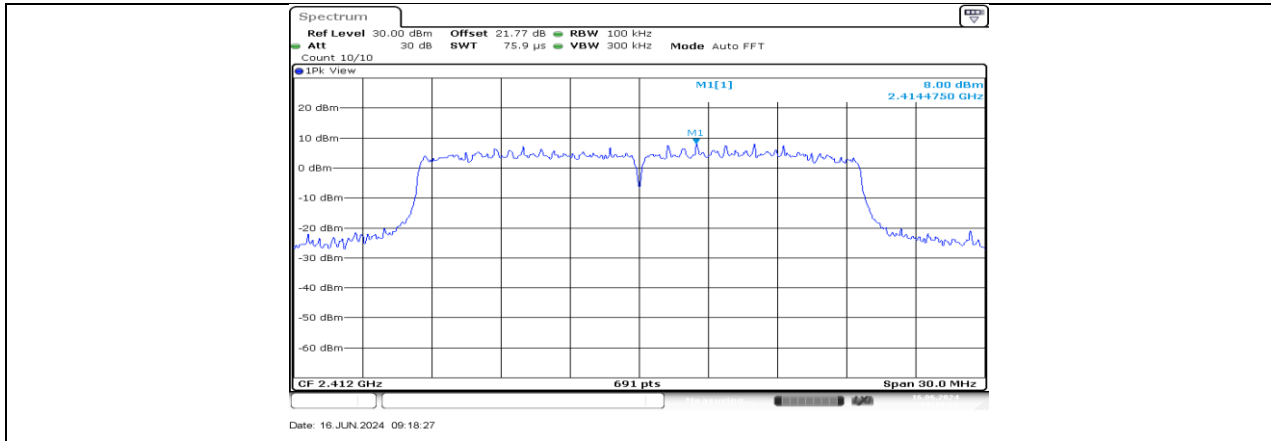
11N40MIMO_Ant4_2447_1000~26500

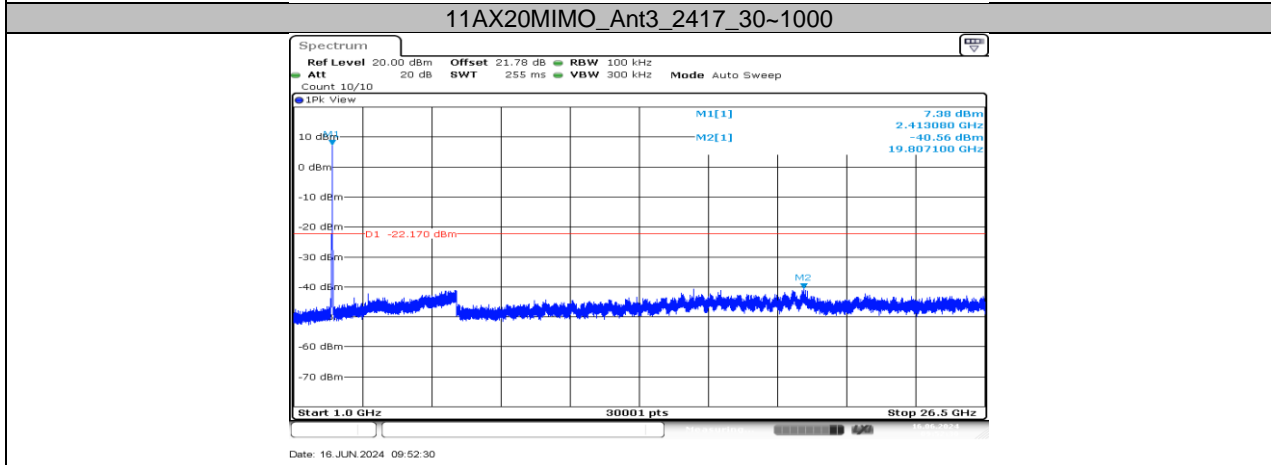
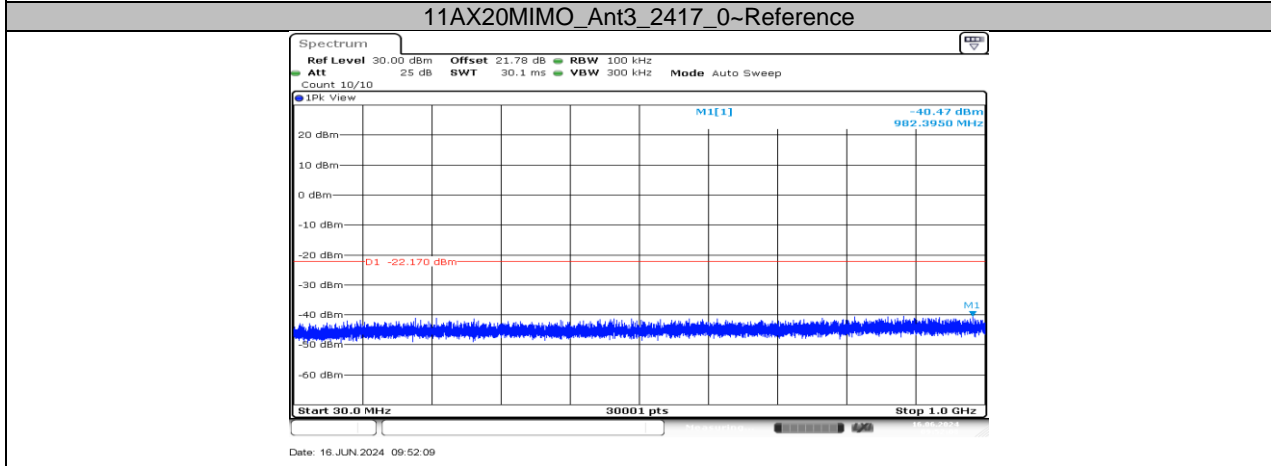
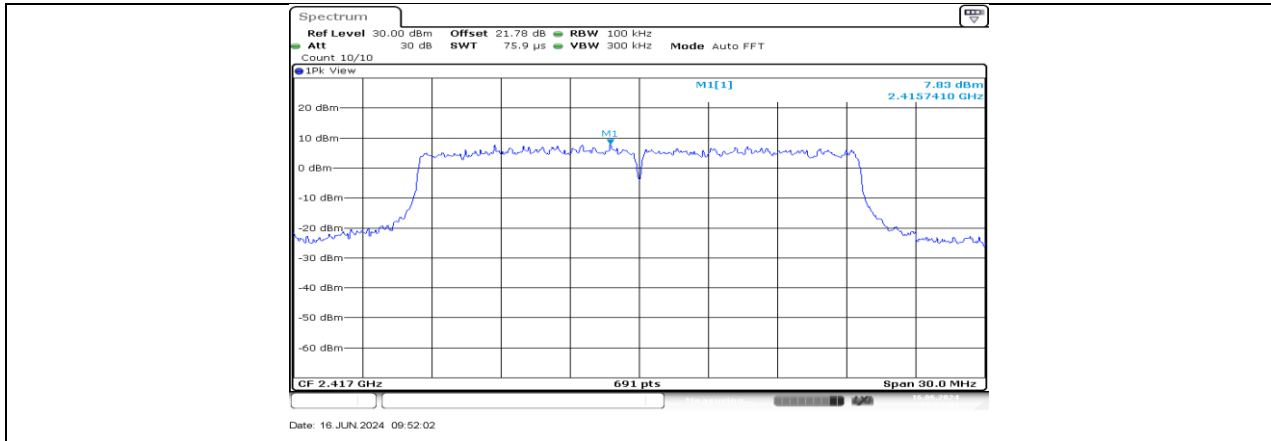




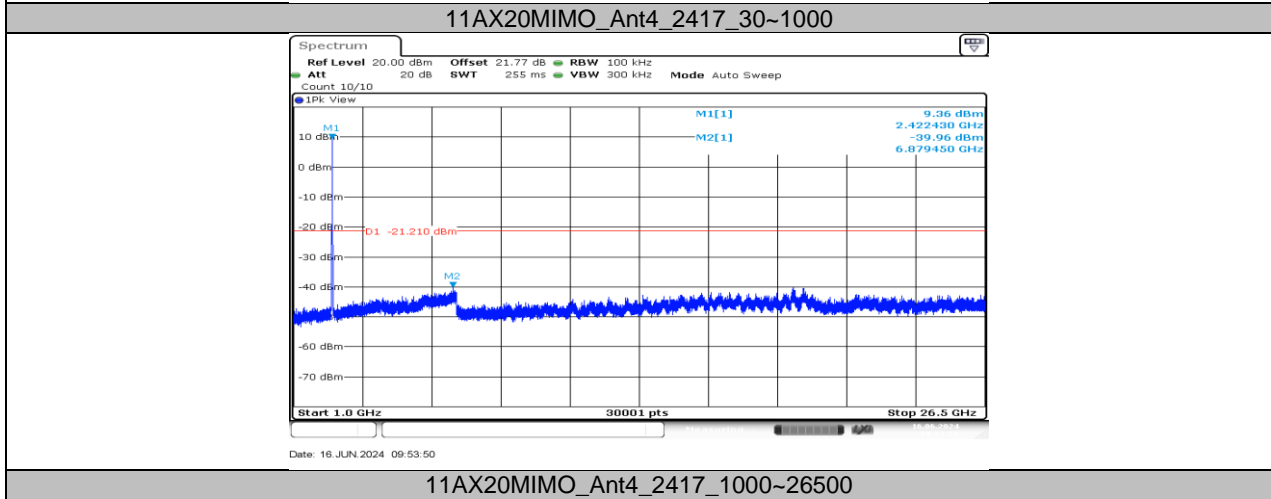
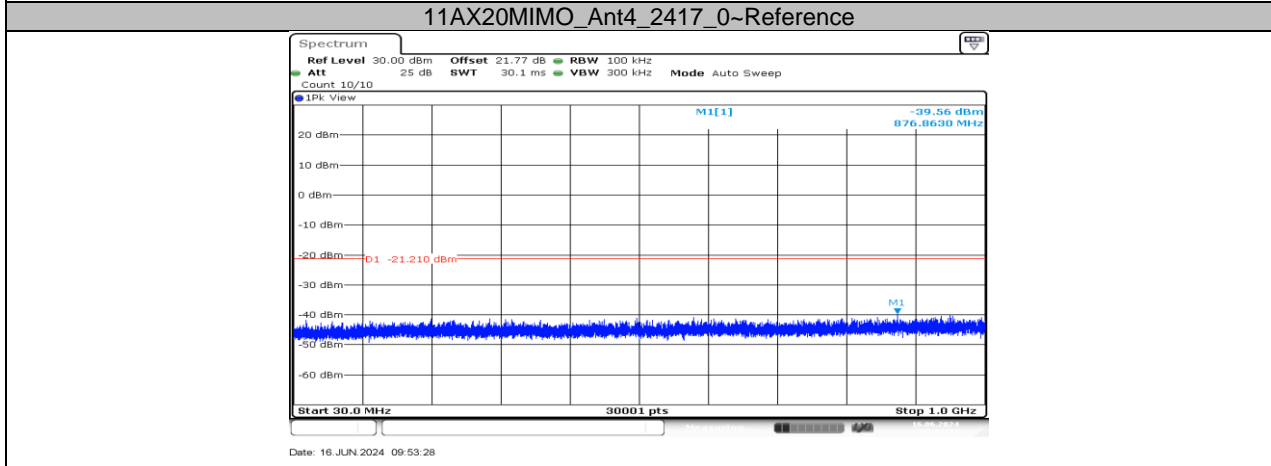
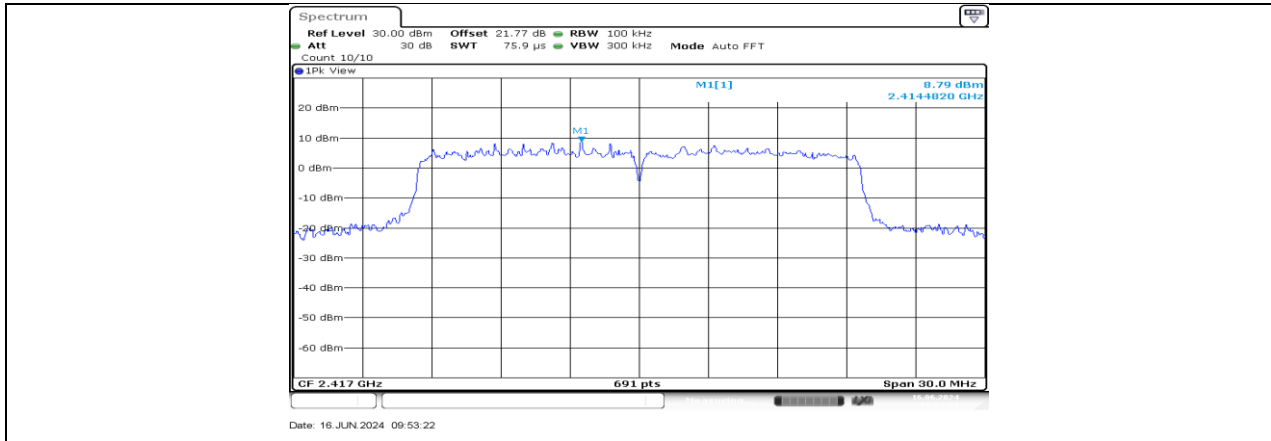
11N40MIMO_Ant4_2452_1000~26500

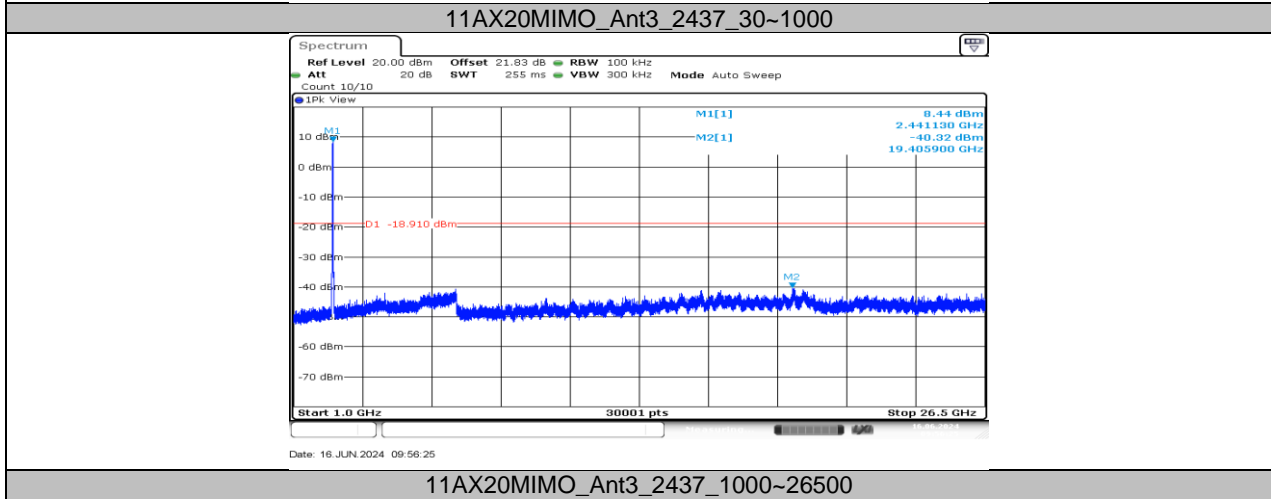
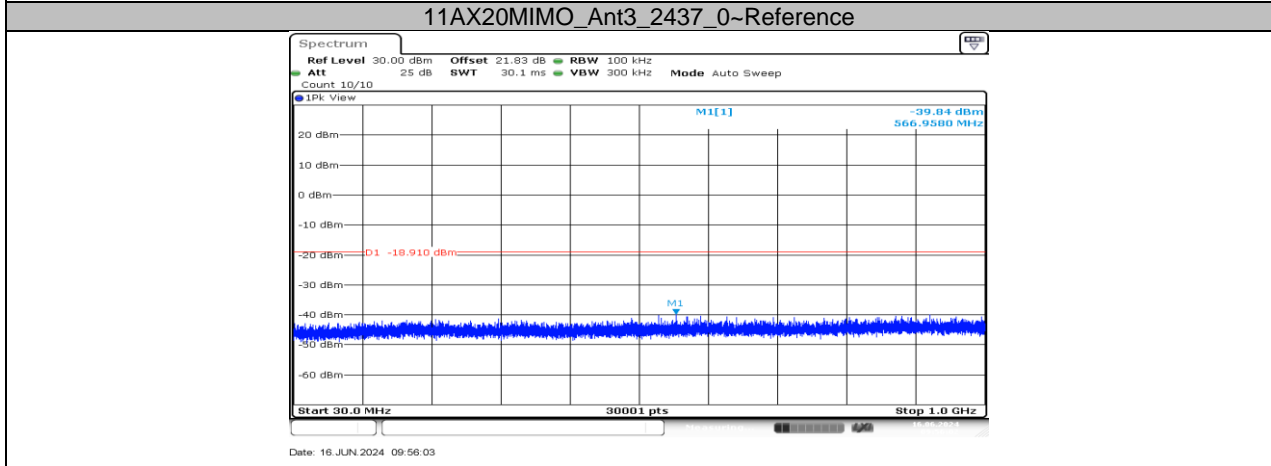
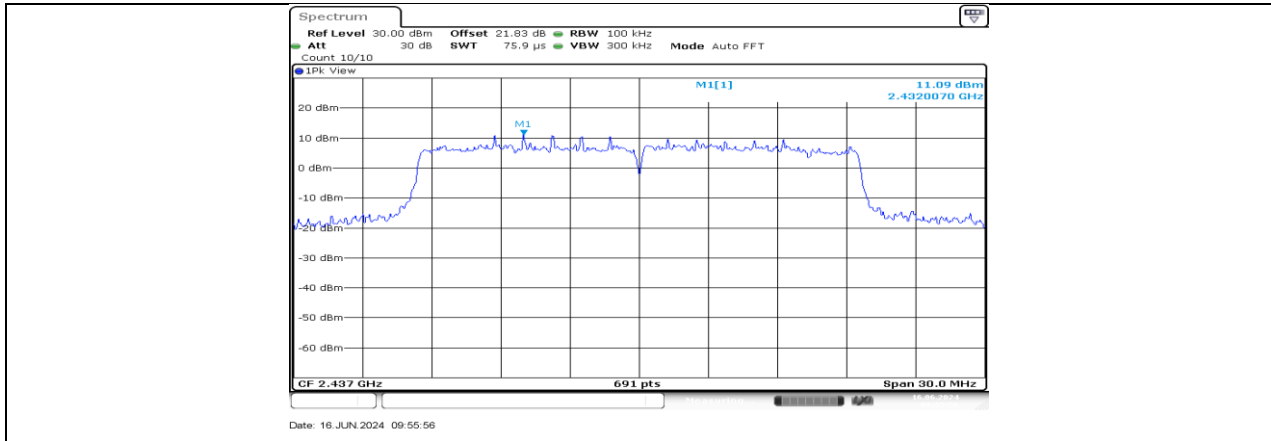


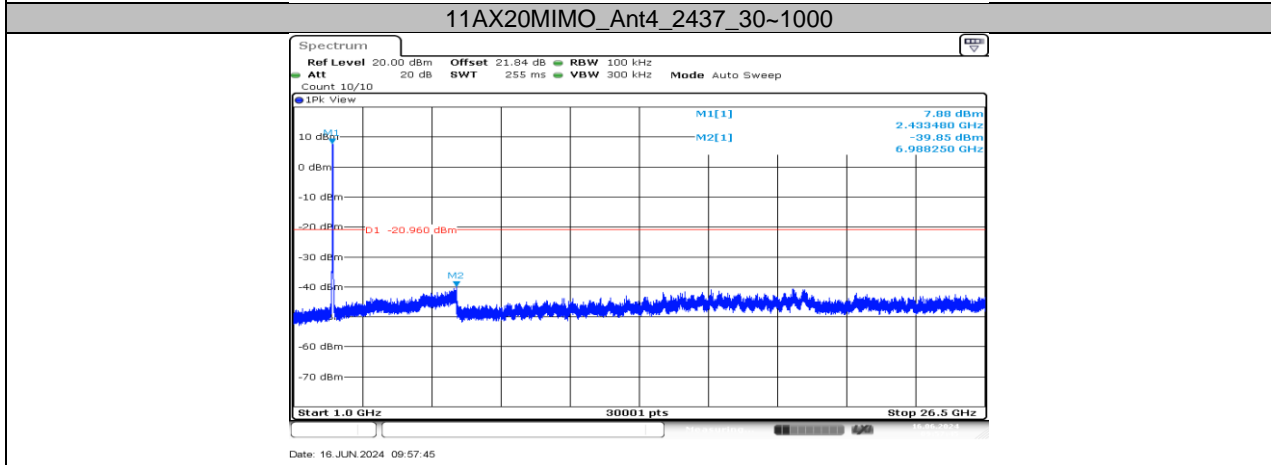
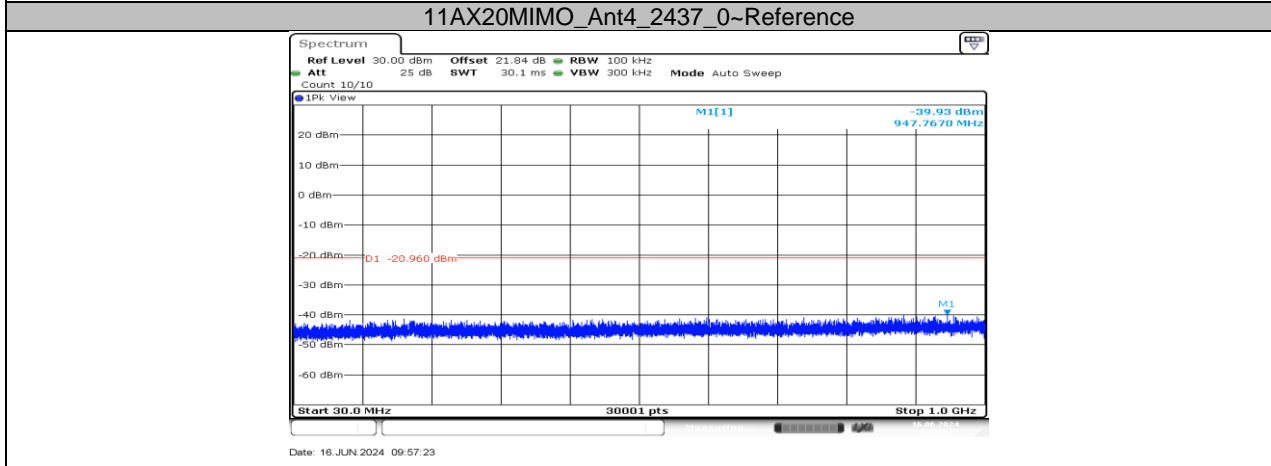
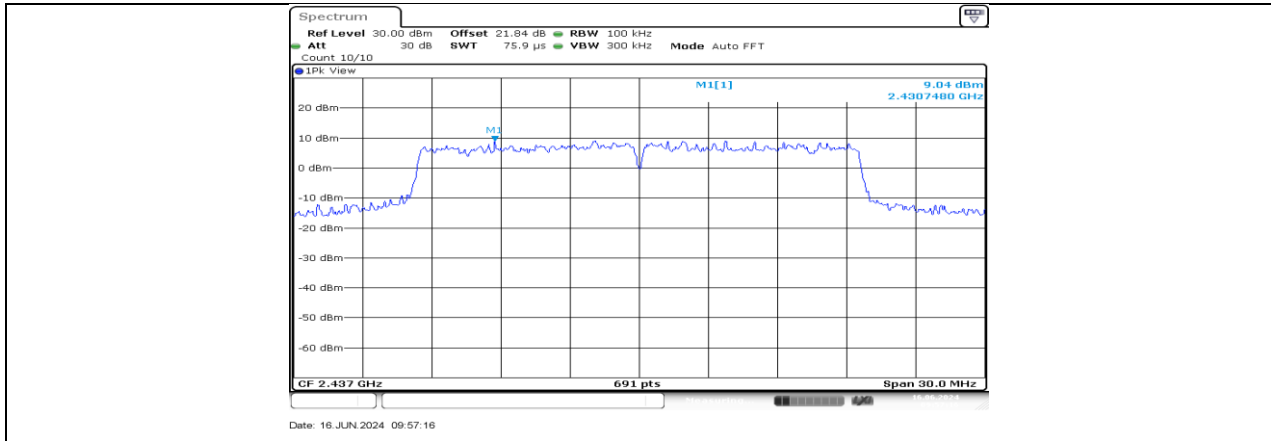


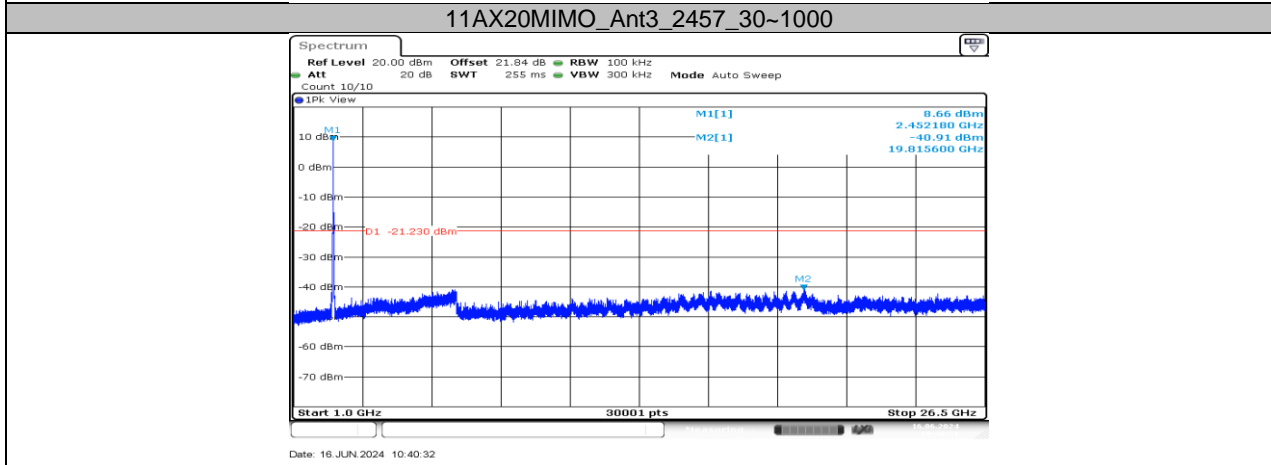
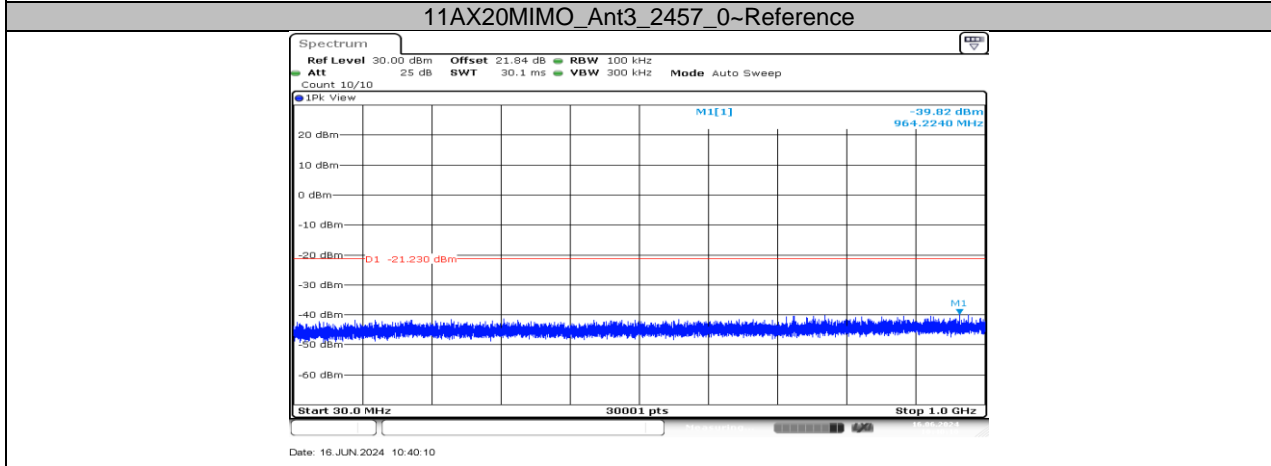
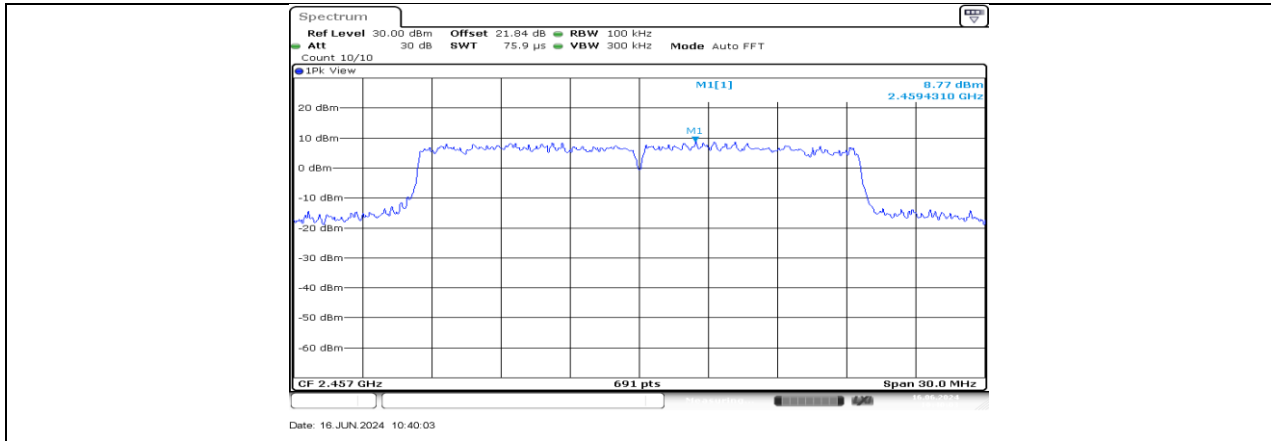


11AX20MIMO_Ant3_2417_1000-26500

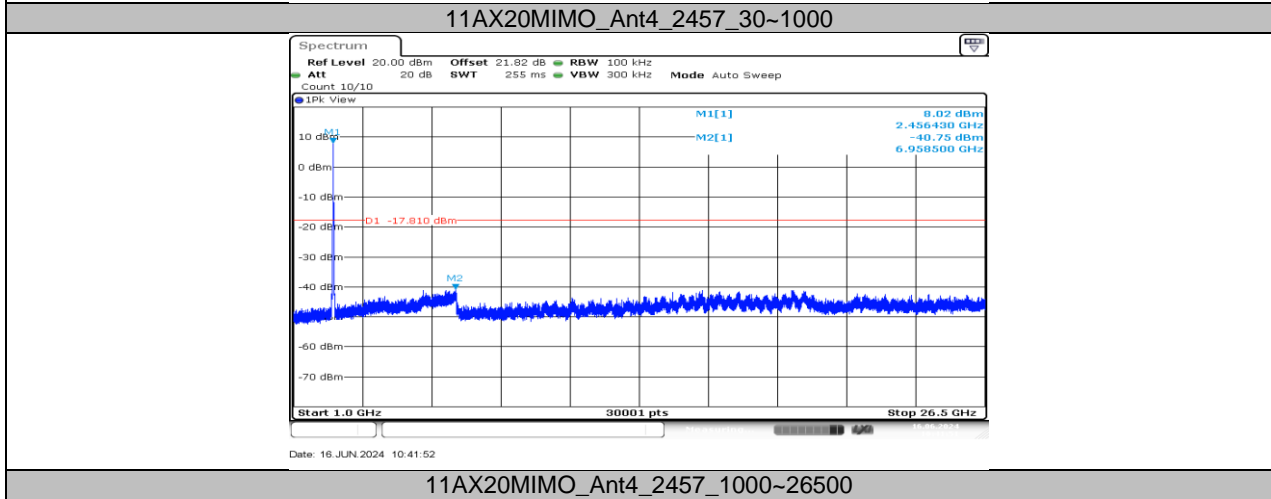
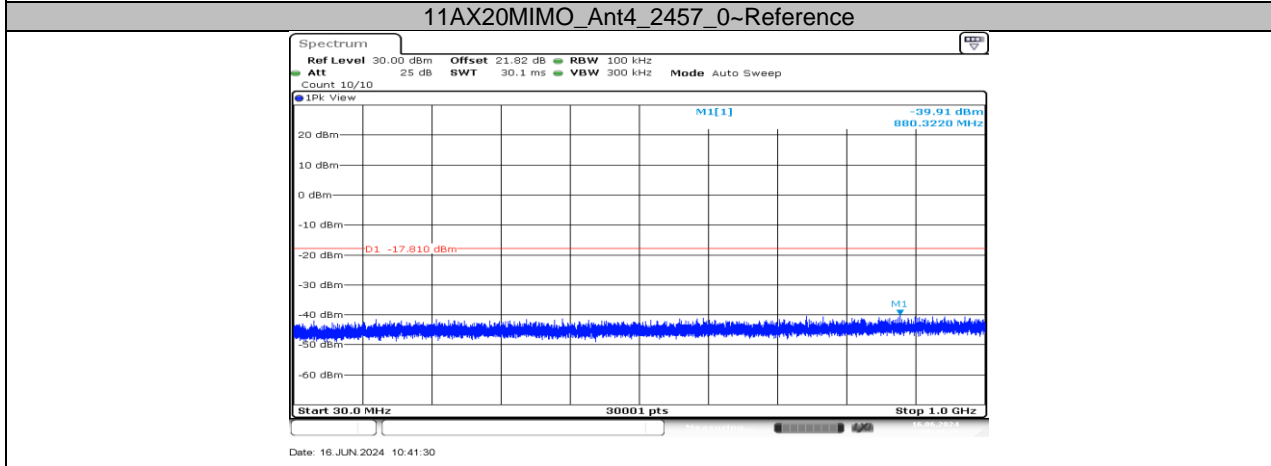
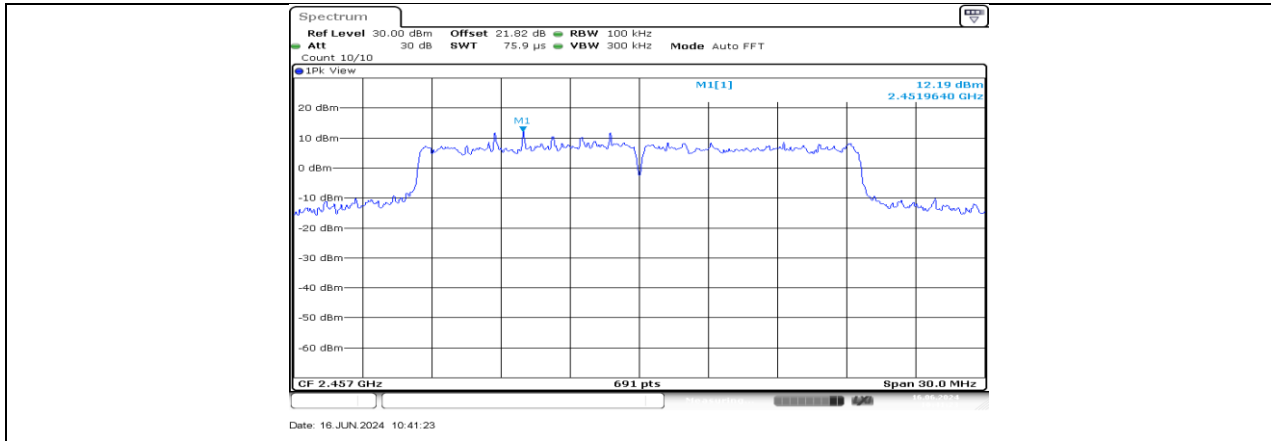


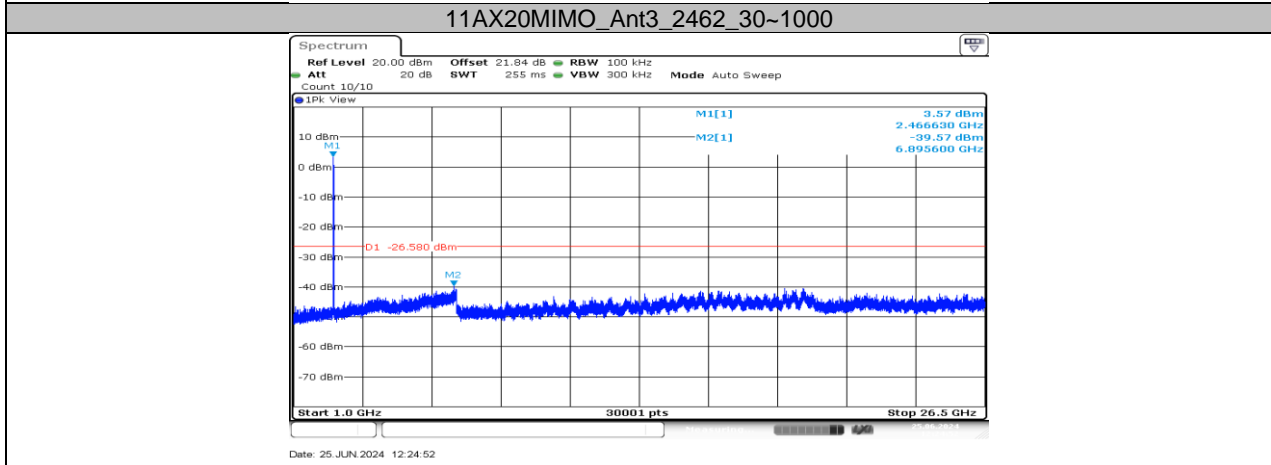
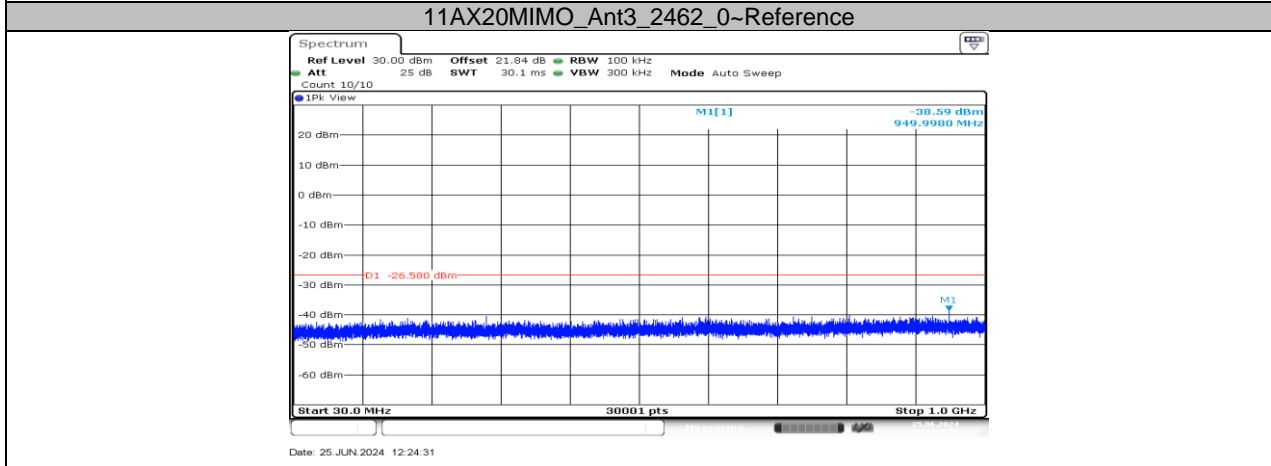
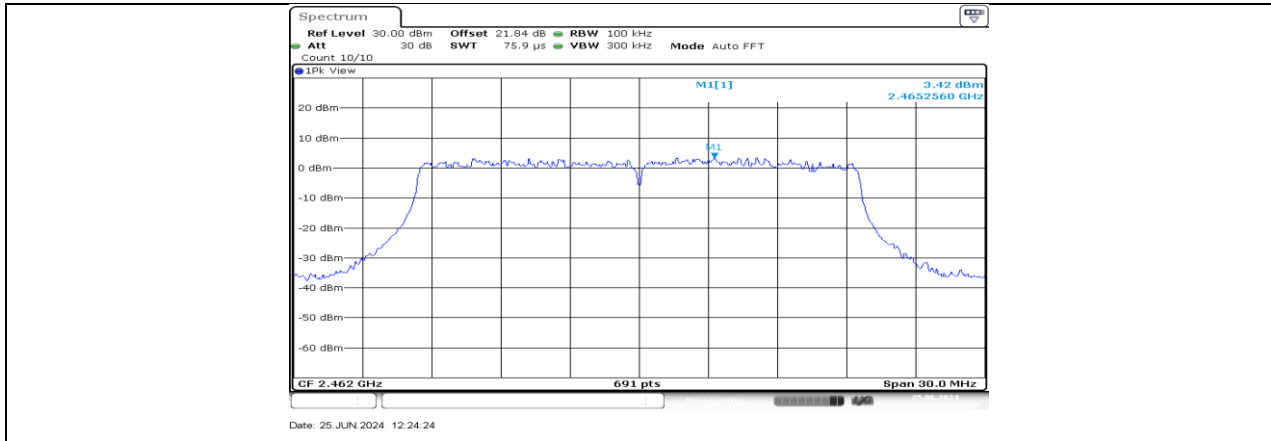






11AX20MIMO_Ant3_2457_1000-26500





11AX20MIMO_Ant3_2462_1000-26500

